

**EVALUASI DAERAH TERTINGGAL DI JAWA TIMUR BERDASARKAN  
INDIKATOR KEMENTERIAN NEGARA PEMBANGUNAN DAERAH  
TERTINGGAL (KPDT) MENGGUNAKAN *ENSEMBLE ROBUST  
CLUSTERING USING LINK (ROCK)***

**SKRIPSI**

Diajukan untuk memenuhi salah satu persyaratan dalam memperoleh gelar Sarjana Matematika (S.Mat) pada program studi Matematika



**Disusun Oleh  
LULUK WULANDARI  
NIM.H72215017**

**PROGRAM STUDI MATEMATIKA  
FAKULTAS SAINS DAN TEKNOLOGI  
UNIVERSITAS ISLAM NEGERI SUNAN AMPEL SURABAYA  
SURABAYA  
2019**

## PERNYATAAN KEASLIAN

Saya yang bertanda tangan di bawah ini,

Nama : Luluk Wulandari

NIM : H72215017

Program Studi : Matematika

Angkatan : 2015

Menyatakan bahwa saya tidak melakukan plagiat dalam tulisan saya yang berjudul : **"EVALUASI DAERAH TERTINGGAL DI JAWA TIMUR BERDASARKAN INDIKATOR KEMENTERIAN NEGARA PEMBANGUNAN DAERAH TERTINGGAL (KPDT) MENGGUNAKAN ENSEMBLE ROBUST CLUSTERING USING LINK (ROCK)"**. Apabila suatu saat nanti terbukti saya melakukan tindakan plagiat, maka saya bersedia menerima sanksi yang telah ditetapkan.

Demikian pernyataan keaslian ini saya buat dengan sebenar-benarnya.

Surabaya, 02 Juli 2019

Yang menyatakan,



Luluk Wulandari

NIM.H72215017

## LEMBAR PERSETUJUAN PEMBIMBING

Skripsi oleh

NAMA : Luluk Wulandari

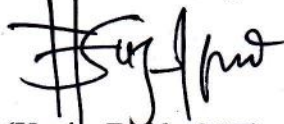
NIM : H72215017

JUDUL : Evaluasi Daerah Tertinggal Di Jawa Timur Berdasarkan Indikator Kementerian Negara Pembangunan Daerah Tertinggal (KPDT) Menggunakan *Ensemble Robust Clustering Using Link* (ROCK) .

Ini telah diperiksa dan disetujui untuk diujikan

Surabaya, 29 Maret 2019

Dosen Pembimbing 1



(Yuniar Farida, M.T)

NIP : 197905272014032002

Dosen Pembimbing 2



(Aris Faniati, M.Kom)

NIP : 198701272014031002

## PENGESAHAN TIM PENGUJI SKRIPSI

Skripsi oleh

Nama : Luluk Wulandari

NIM : H72215017

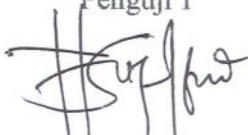
Judul : Evaluasi Daerah Tertinggal Di Jawa Timur Berdasarkan Indikator  
Kementerian Negara Pembangunan Daerah Tertinggal (KPDT) Menggunakan  
*Ensemble Robust Clustering Using Link (ROCK)*

Telah dipertahankan di depan Tim Penguji Skripsi pada

Tanggal 02 Juli 2019

Mengesahkan,  
Tim Penguji

Penguji I



(Yuniar Fatida, M.T.)

NIP : 197905272014032002

Penguji II



(Aris Fanani, M.Kom.)

NIP : 198701272014031002

Penguji III



(Nurissaidah Ulinuha, M.Kom.)

NIP : 1999011022014032004

Penguji IV




(Putrone Keumala Intan, M.Si.)

NIP : 198805282018012001

Mengetahui,

Dekan Fakultas Sains dan Teknologi  
UIN Sunan Ampel Surabaya



  
Dr. Eni Purwati, M.Ag.

NIP.196512211990022001



**KEMENTERIAN AGAMA**  
**UNIVERSITAS ISLAM NEGERI SUNAN AMPEL SURABAYA**  
**PERPUSTAKAAN**

Jl. Jend. A. Yani 117 Surabaya 60237 Telp. 031-8431972 Fax.031-8413300  
E-Mail: perpus@uinsby.ac.id

**LEMBAR PERNYATAAN PERSETUJUAN PUBLIKASI**  
**KARYA ILMIAH UNTUK KEPENTINGAN AKADEMIS**

Sebagai sivitas akademika UIN Sunan Ampel Surabaya, yang bertanda tangan di bawah ini, saya:

Nama : Luluk Wulandari  
NIM : H72215017  
Fakultas/Jurusan : Sains dan Teknologi / Matematika  
E-mail address : lulukwulandari618@gmail.com

Demi pengembangan ilmu pengetahuan, menyetujui untuk memberikan kepada Perpustakaan UIN Sunan Ampel Surabaya, Hak Bebas Royalti Non-Eksklusif atas karya ilmiah :

Skripsi     Tesis     Desertasi     Lain-lain (.....)

yang berjudul :

Evaluasi Daerah Tertinggal Di Jawa Timur Berdasarkan Indikator

Kementerian Negara Pembangunan Daerah Tertinggal (KPDOT)

Menggunakan Ensemble Robust Clustering Using Link (K-OCK)

beserta perangkat yang diperlukan (bila ada). Dengan Hak Bebas Royalti Non-Eksklusif ini Perpustakaan UIN Sunan Ampel Surabaya berhak menyimpan, mengalih-media/format-kan, mengelolanya dalam bentuk pangkalan data (database), mendistribusikannya, dan menampilkan/mempublikasikannya di Internet atau media lain secara **fulltext** untuk kepentingan akademis tanpa perlu meminta ijin dari saya selama tetap mencantumkan nama saya sebagai penulis/pencipta dan atau penerbit yang bersangkutan.

Saya bersedia untuk menanggung secara pribadi, tanpa melibatkan pihak Perpustakaan UIN Sunan Ampel Surabaya, segala bentuk tuntutan hukum yang timbul atas pelanggaran Hak Cipta dalam karya ilmiah saya ini.

Demikian pernyataan ini yang saya buat dengan sebenarnya.

Surabaya, 02 Juli 2019

Penulis

( Luluk Wulandari )  
nama terang dan tanda tangan



























pembangunan daerah tertinggal yang tercantum dalam Peraturan Pemerintah nomor 78 tahun 2014 Pasal 2 ayat 1 yaitu mengurangi kesenjangan antar wilayah daerah untuk menjamin terwujudnya keadilan pemerataan dari pembangunan nasional.

Jawa Timur merupakan salah satu Provinsi yang memiliki permasalahan dalam hal pemerataan pembangunan. Berbagai permasalahan ketimpangan dan kesenjangan menyebabkan Provinsi Jawa Timur menjadi salah satu dari 21 Provinsi yang berstatus tertinggal di Indonesia. Hal ini tercantum dalam keputusan yang terdapat dalam Peraturan Presiden Nomor 131 Tahun 2015 yang menunjukkan bahwa Provinsi Jawa Timur menjadi satu-satunya Provinsi di Pulau Jawa yang berstatus tertinggal (Republik Indonesia, 2015). Berdasarkan pernyataan tersebut, perlu dilakukan pengkajian khusus untuk mengatasi ketimpangan dan ketidakmerataan pembangunan di Jawa timur.

Peraturan Pemerintah nomor 78 tahun 2014 pasal 6 ayat 1 menyebutkan bahwa penetapan daerah tertinggal dilakukan selama 5 tahun sekali berdasarkan kriteria dan indikator yang telah ditetapkan oleh KPDT dengan sumber data yang didapatkan dari Badan Pusat Statistika berupa data potensi desa, statistik kesejahteraan rakyat dan profil masing-masing provinsi dalam angka tahun tertentu (Republik Indonesia, 2014). Dalam kasus ini, daerah tertinggal terakhir kali ditetapkan pada tahun 2015 yang tercantum dalam Peraturan Presiden nomor 131 tahun 2015 dan akan dilakukan penetapan kembali pada tahun 2020 mendatang. Dalam penelitian ini data kriteria KPDT yang digunakan adalah hasil survey tahun 2014 dan tahun 2018. Hasil penetapan dengan data survey tahun

2014 akan digunakan sebagai pembandingan dengan keputusan Pemerintah, dan hasil penetapan dengan data survey tahun 2018 akan digunakan sebagai prediksi penetapan daerah tertinggal tahun 2020 mendatang. Sehingga hasil dari penelitian ini dapat memberikan gambaran terkait daerah yang ditetapkan sebagai daerah tertinggal untuk kedepannya. Dengan demikian, pemerintah Kabupaten/Kota dapat mengambil kebijakan terhadap daerahnya yang disesuaikan dengan karakteristik masing-masing daerah dengan tujuan untuk mengentaskan daerah tersebut dari status tertinggal.

Beberapa penelitian terkait evaluasi daerah tertinggal telah banyak dilakukan, diantaranya yaitu Anik Djuridah dalam penelitiannya yang mengevaluasi status daerah tertinggal menggunakan analisis *Diskriminan* (Djuridah, 2009) Dalam penelitian tersebut, peneliti hanya menentukan beberapa indikator yang berpengaruh dalam penentuan status tertinggal dari suatu daerah. Tanpa diketahui secara pasti daerah mana yang masuk kedalam kelompok daerah tertinggal dan tidak. Sama halnya dengan penelitian yang dilakukan oleh Satria, Herman dan Fajar yang menganalisis pembangunan wilayah tertinggal di Jawa Timur menggunakan analisis *Location Quotient dan Shift Share Esteban Marquillas* (Wiratama, Diartho, & Prianto, 2018). Dalam penelitian tersebut, peneliti hanya menggunakan variabel PDRB saja. Selanjutnya Dwi Hariadi Setiadi dalam tugas akhirnya yang melakukan pemetaan Kabupaten/Kota daerah tertinggal menggunakan Metode *ensemble Similarity Weight And Filter Method* (SWFM) dan *Robust Clustering Using Link* (ROCK) (Setiadi, 2018). Dalam penelitian tersebut, peneliti hanya menggunakan 5 kriteria dan 13

indikator. Lima indikator tersebut yaitu infrastruktur, karakteristik daerah, perekonomian, sumber daya manusia (SDM), dan kemampuan keuangan daerah, tanpa menyertakan kriteria aksesibilitas. Sedangkan dalam Peraturan Pemerintah Kementerian Pembangunan Daerah Tertinggal (KPDT) yang tercantum dalam UU No 78 Tahun 2014 dan dijelaskan dalam Peraturan Presiden Nomor 131 Tahun 2015 pasal 2 ayat 1, 2, dan 3 yang menyebutkan bahwa penetapan daerah tertinggal menggunakan 6 kriteria (perekonomian masyarakat, sumber daya manusia, sarana dan prasarana, kemampuan keuangan daerah, aksesibilitas dan karakteristik daerah) yang terdiri dari 33 indikator yang digunakan untuk menentukan status daerah tertinggal. Berdasarkan beberapa penelitian terkait yang telah disebutkan diatas, belum ada penelitian yang melakukan evaluasi daerah tertinggal menggunakan semua kriteria dan indikator yang telah ditetapkan oleh Kementerian Negara Pembangunan Daerah Tertinggal (KPDT) secara keseluruhan. Sehingga dalam penelitian ini akan dilakukan evaluasi daerah tertinggal berdasarkan semua kriteria dan indikator yang telah ditetapkan oleh KPDT.

Dalam praktiknya, Pemerintah melakukan penetapan daerah tertinggal didasarkan pada Peraturan Presiden Nomor 131 Tahun 2015 Pasal 6 Ayat 2 yaitu dengan menggunakan aspek komposit dan nilai selang (*range*) (Republik Indonesia, 2015). Secara statistik kedua metode tersebut hanya cocok untuk melakukan analisis data yang bersifat numerik. Sedangkan pada kenyataannya, indikator untuk menentukan status daerah tertinggal tidak hanya mengacu kepada data yang bersifat numerik saja. Melainkan terdapat beberapa indikator yang

bersifat kategorik. Sehingga, jika aspek komposit dan nilai selang yang digunakan sebagai analisis, maka tidak akan mampu mengakomodasi 6 kriteria yang terdiri dari 33 indikator tersebut.

Dalam mengatasi hal tersebut, diperlukan suatu metode khusus yang mampu mengakomodasi semua jenis data, baik kategorik maupun numerik. Metode statistik yang dapat digunakan untuk melakukan *clustering* pada data campuran adalah metode *ensemble*. Dalam penelitian ini, metode *ensemble* yang digunakan adalah *Robust Clustering Using Link* (ROCK). Metode *ensemble* ROCK merupakan metode *clustering* yang menggunakan konsep jarak untuk mengukur kesamaan atau kedekatan antara sepasang titik data (Sudipo Guha, Rajeev Rastogi, 1999). Kelebihan metode ROCK adalah memiliki akurasi yang lebih baik jika dibandingkan dengan metode hierarki *agglomerative* (pemusatan) dengan sifat skalabilitas yang baik (Reddy & B.Kavitha, 2012).

Penggunaan metode *ensemble* ROCK telah terbukti optimal untuk melakukan *clustering* data campuran (*ensemble*) dalam menyelesaikan berbagai kasus. Seperti penelitian yang dilakukan Shashi Sharma dan Ram Lal Yadav, dalam penelitian tersebut terbukti bahwa metode ROCK lebih optimal jika dibandingkan dengan metode *K-Means* untuk proses analisis klaster (Shashi Sharma & Yadav, 2013). Sama halnya dengan penelitian yang dilakukan oleh Dwi Harid Setiadi, dalam penerapan metode *ensemble* ROCK untuk pemetaan daerah tertinggal, terbukti lebih optimal jika dibandingkan dengan metode *ensemble* SWFM (Setiadi, 2018). Kemudian Alvionita dalam thesisnya yang membandingkan metode SWFM dan ROCK untuk pengelompokan aksesori jeruk.





















yang telah ditetapkan oleh KPDT dengan tujuan untuk mengurangi kesenjangan antar wilayah daerah guna untuk menjamin terwujudnya keadilan pemerataan dari pembangunan nasional. Selain itu, bertujuan pula untuk memenuhi berbagai sarana prasarana dan kebutuhan dasar yang dibutuhkan oleh daerah tertinggal tersebut.

### **C. Kriteria dan Indikator Daerah tertinggal**

Menurut Peraturan Pemerintah Nomor 78 tahun 2014, penentuan daerah tertinggal ini dilakukan selama 5 tahun sekali dengan memperhatikan kriteria yang terdiri dari beberapa indikator dan karakteristik daerah tertentu yang tercantum dalam Peraturan Menteri (Republik Indonesia, 2014). Dalam proses identifikasi status ketertinggalan suatu daerah, dilaksanakan dengan melakukan pengukuran berdasarkan standar yang tercantum dalam Peraturan Menteri Desa, Pembangunan Daerah Tertinggal dan Transmigrasi Nomor 3 Tahun 2016 . Kriteria penentuan daerah tertinggal terdiri dari 6 kriteria yang terdiri dari 27 indikator dengan memperhatikan 6 indikator karakteristik daerah tertentu, sehingga total keseluruhan terdapat 33 indikator. Selanjutnya, penjelasan terkait kriteria dan masing-masing indikatornya akan dijelaskan dalam sub bab selanjutnya.

#### **1. Perekonomian Masyarakat**

Kriteria dari perekonomian masyarakat merupakan gambaran dari kondisi perekonomian penduduk dalam suatu wilayah tertentu. Perekonomian









Aspek ini hanya terdiri dari satu indikator yaitu Jumlah sekolah menengah pertama (SMA) per 1000 penduduk.

c. Banyaknya desa atau kelurahan berdasarkan sarana kesehatan. Aspek ini terdiri dari dua indikator yaitu :

1. Jumlah Sarana dan Prasarana Kesehatan Per 1000 Penduduk
2. Jumlah Dokter Per 1000 Penduduk

d. Banyaknya desa atau kelurahan berdasarkan keberadaan pengguna listrik dan sumber penerangan jalan utama

Aspek ini terdiri dari satu indikator, yaitu Persentase rumah tangga pengguna listrik baik PLN maupun non PLN. Aspek selanjutnya yaitu komunikasi. Dalam aspek ini indikator yang dibutuhkan yaitu persentase rumah tangga pengguna telepon.

Aspek selanjutnya yaitu lingkungan hidup. Dalam hal ini indikator yang digunakan yaitu persentase rumah tangga pengguna air minum bersih. Air minum yang layak adalah kualitas air minum yang terlindungi. Air jenis ini bersumber dari keran umum, terminal air, air ledeng, hydrant umum, penampungan air hujan, dan sumur. Selain itu, sumber air minum tersebut harus jauh dari pembuangan kotoran (minimal 10 m), pembuangan sampah dan limbah.

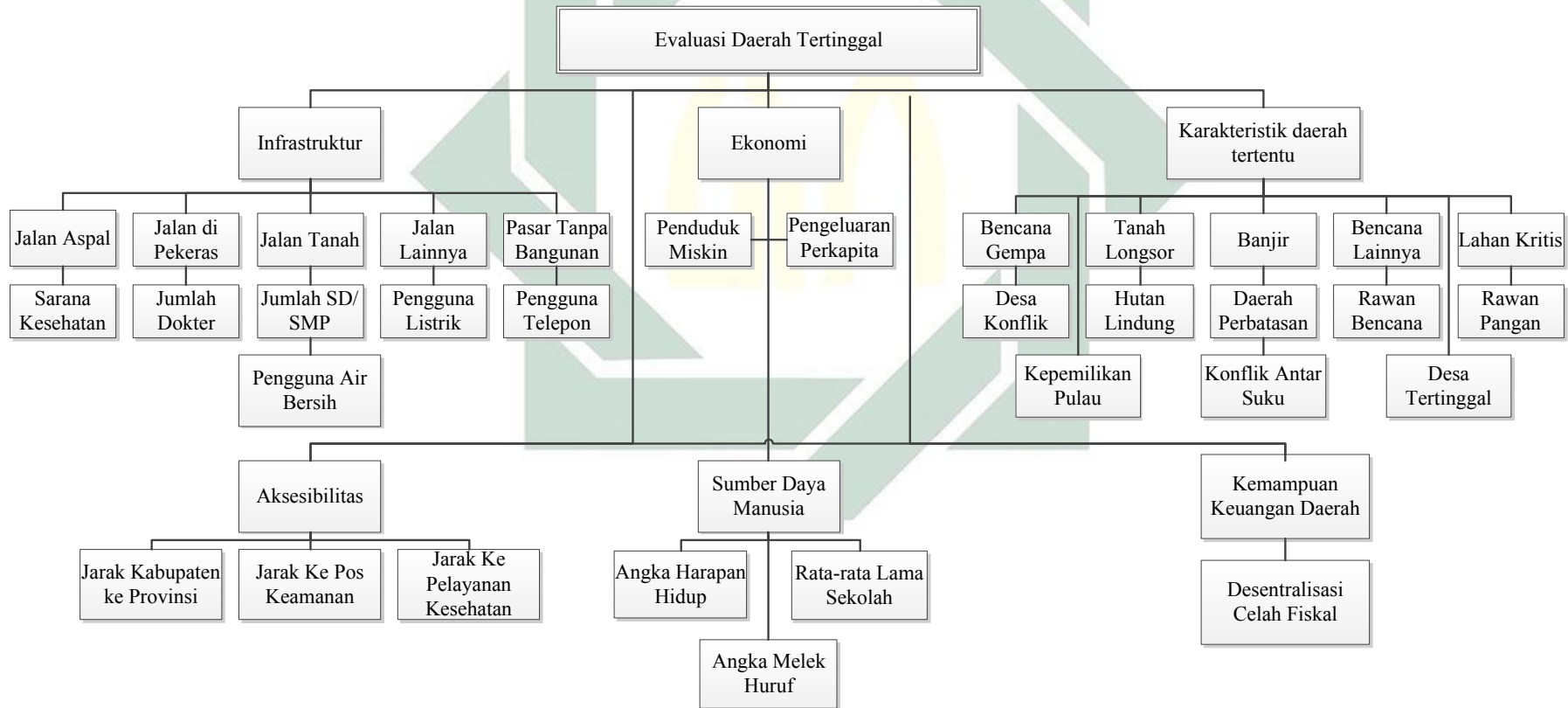
Indikator selanjutnya yaitu indikator persentase desa yang mempunyai pasar tanpa bangunan permanen atau semi permanen. Pasar merupakan tempat bertemunya penjual dan pembeli barang dan jasa. Penempatan pasar dapat menggunakan bangunan permanen atau semi











Gambar 2.2 Bagan Kriteria dan Indikator Daerah Tertinggal

#### **D. Jenis Data**

Data adalah kumpulan dari fakta yang diolah sedemikian rupa sehingga mampu memberikan informasi bagi yang membutuhkannya. Berdasarkan jenis dari variabelnya, data dikelompokkan menjadi dua, yaitu data numerik dan kategorik. Data yang memiliki jenis variabel kuantitatif dapat digolongkan sebagai data numerik. Data jenis ini akan menghasilkan informasi numerik. Menurut Anderson dan Sclove (1974), data numerik dikelompokkan menjadi dua bagian, yaitu data diskrit (pencacahan) dan data kontinu (pengukuran) (Alvionita et al., 2017). Sedangkan data kategorik adalah data yang memiliki jenis variabel kualitatif. Data kategorik dapat dihasilkan melalui penggolongan, pemetaan maupun proses klasifikasi. Data kategorik mempunyai skala pengukuran yang terdapat dalam satu set kategori (Agresti, 2009). Misalnya penyakit kanker yang diukur berdasarkan kategori ganas dan jinak.

#### **E. Analisis Data**

Dalam proses analisis data, terdapat tiga jenis analisis data, yaitu analisis *univariate*, *bivariate* dan *multivariate*. Penggunaan analisis data tersebut disesuaikan dengan jenis data yang digunakan. Analisis *univariate* adalah analisis yang diterapkan dalam satu variabel saja (Setiawan & Muntaha, 2014), seperti analisis deskriptif statistik yang terdiri dari *mean*, median, modus, standard deviasi, nilai minimum, nilai maksimum dan lain sebagainya. Sehingga, analisis *univariate* merupakan analisis yang dilakukan pada data tunggal yang tidak memiliki keterikatan dengan variabel lainnya. Sedangkan analisis data yang



berkaitan dengan dua variabel disebut dengan analisis *bivariate* (David & Djamaris, 2018). Dalam analisis *bivariate*, lebih cenderung untuk mengetahui hubungan antar variabel bebas dan variabel terikat. Secara umum, analisis *bivariate* ini biasanya digunakan untuk mengetahui korelasi antar dua variabel. Dimana dua variabel tersebut ada yang berperan sebagai variabel *exogen* dan *endogen*. Sedangkan analisis *multivariate* adalah pengembangan dari analisis *univariate* dan *bivariate*. Analisis ini digunakan untuk menangani lebih dari dua variabel (Haryono, 2017).

Analisis data yang digunakan dalam penelitian ini adalah analisis *multivariate*. Hal tersebut karena data yang digunakan dalam penelitian ini terdiri dari dua pengamatan lebih dengan beberapa karakteristik yang berbeda-beda. Dalam penelitian ini data pengamatan yang digunakan adalah seluruh Kabupaten/Kota di Jawa Timur (33 daerah) serta variabel yang terdiri dari indikator kriteria daerah tertinggal (33 indikator). Gambaran terkait data *multivariate* dalam penelitian yang dilakukan dengan pengamatan sebanyak  $n$  serta variabel sebanyak  $i$ , disajikan dalam Tabel 2.2.

Tabel 2.2 Gambaran Data *Multivariate*

Pengamatan $ke - i$	Variabel 1 $(x_1)$	Variabel 2 $(x_2)$	Variabel 3 $(x_3)$	...	Variabel $(x_i)$
1	$x_{11}$	$x_{21}$	$x_{31}$	...	$x_{i1}$
2	$x_{12}$	$x_{22}$	$x_{32}$	...	$x_{i2}$
3	$x_{13}$	$x_{23}$	$x_{33}$	...	$x_{i3}$
$\vdots$	$\vdots$	$\vdots$	$\vdots$	...	$\vdots$
$n$	$x_{1n}$	$x_{2n}$	$x_{3n}$	...	$x_{in}$

## F. Analisis Faktor

### 1. Pengertian Analisis Faktor

Analisis faktor adalah jenis teknik analisis *multivariate*. Analisis ini bertujuan untuk mengetahui hubungan yang terjadi antara satu variabel dengan variabel lainnya. Teknik dari analisis ini dilakukan dengan menemukan hubungan diantara variabel-variabel yang awalnya bersifat saling *independent*, menjadi sekumpulan variabel baru yang memiliki korelasi kuat dan berjumlah lebih sedikit dari variabel semula (Simarmata, Arma, & Arnita, 2013). Variabel baru tersebut saling berkorelasi satu sama lain dan memuat banyak informasi yang terdapat dalam variabel asli. Dengan kata lain analisis faktor merupakan teknik untuk melakukan pengujian terhadap hubungan sekumpulan variabel.

Secara umum, analisis faktor bertujuan untuk mengidentifikasi banyaknya faktor umum menggunakan matriks kovarians atau korelasi. Analisis faktor yang dihasilkan mampu memberikan penjelasan terbaik karena memiliki korelasi yang tinggi antara satu faktor dengan faktor yang lain. Analisis faktor ini perlu dilakukan untuk mengurangi dampak dari multikolinearitas. Setiap faktor yang terpilih, akan digunakan sebagai analisis kluster kedepannya. Dimana faktor yang terpilih mempunyai kontribusi yang besar dalam proses pengelompokan. Penghapusan beberapa fitur yang mempunyai tingkat korelasi rendah, akan menghasilkan suatu matrik jarak serta hasil pengelompokan yang kuat (*robust*) (Ben-Hur & Guyon, 2003).

Analisis faktor memiliki dua asumsi yang harus dipenuhi sebelum melakukan pembentukan faktor. Asumsi pertama yaitu uji kecukupan data



















Berdasarkan penjelasan diatas, dapat diketahui bahwa analisis kluster memiliki hubungan erat dengan pengukuran kemiripan dan ketidakmiripan objek pengamatan. Algoritma pengelompokan dengan memanfaatkan ukuran kemiripan dan ketidakkemiripan objek pengamatan berguna untuk memisahkan atau menggabungkan data dari suatu objek pengamatan. Pengukuran tingkat kemiripan ( $d$ ) antara objek  $ke - i$  dan objek  $ke - j$  ( $d_{ij}$ ), adalah suatu fungsi yang mempunyai beberapa sifat sebagai berikut  $d_{ij} \geq 0, d_{ii} = 0, d_{ij} = d_{ji}$  dan untuk  $d_{ik} + d_{jk} \geq d_{ij}$ , untuk setiap  $i, j$  dan  $k$ . Semakin besar nilai dari pengukuran ketidakmiripan dari dua objek tertentu, maka akan semakin besar pula perbedaan antara dua objek tersebut, maka output akhirnya, kedua objek tersebut tidak akan dikelompokkan dalam kluster yang sama (Johnson & Wichern, 2007). Menurut (Subhash. Sharma, 1996) salah satu faktor yang mempengaruhi hasil dari pengelompokan adalah jarak yang terbentuk antar objek pengamatan satu dengan yang lainnya. Sehingga diperlukan sebuah alat ukur khusus yang digunakan untuk menentukan jarak diantara objek pengamatan yang digunakan dalam penelitian.

Secara umum, analisis kluster dikelompokkan menjadi dua jenis, diantaranya yaitu analisis kluster dengan metode hirarki dan non hirarki (Johnson & Wichern, 2007). Analisis kluster dengan metode hirarki, dilakukan dengan tanpa menentukan berapa banyak kelompok kluster yang akan dibentuk terlebih dahulu. Pada metode hirarki ini, jumlah kelompok kluster dibentuk dari pendekatan dengan pola tertentu (Johnson & Wichern, 2007). Sedangkan metode non hirarki dilakukan dengan menentukan terlebih dahulu jumlah kelompok yang akan dibentuk dalam analisis kluster, metode ini cocok digunakan untuk















Kasus penggunaan data campuran sering kali ditemui dalam beberapa penelitian. Data yang digunakan sering kali memiliki karakteristik data yang berbeda-beda. Sehingga, diperlukan suatu metode khusus yang mampu menangani jenis data tersebut. Metode statistik yang dapat digunakan adalah metode *clustering ensemble*. Apabila terdapat  $m$  data yang berskala numerik ( $m_{(numerik)}$ ) dan  $h$  data yang berskala kategorik ( $h_{(kategorik)}$ ), maka data  $l$  yang berskala campuran yaitu  $u = m_{(numerik)} + h_{(kategorik)}$ . Selanjutnya, materi terkait kluster *ensemble* akan dibahas pada sub bab selanjutnya.

### I. *Ensemble Clustering*

Menurut Suguna & Selvi (2012), *ensemble clustering* adalah suatu metode pengelompokan yang menggabungkan lebih dari satu algoritma agar didapatkan partisi umum dari data. Secara umum, metode *ensemble Clustering* terdiri dari dua tahap algoritma. Tahap pertama yaitu melakukan kluster secara terpisah menggunakan algoritma tertentu yang disesuaikan dengan jenis data (numerik atau kategorik). Hasil dari pengelompokan terpisah tersebut selanjutnya disimpan untuk diolah pada tahap selanjutnya. Tahap kedua yaitu menentukan final kluster berdasarkan hasil pengelompokan pada tahap satu dengan memanfaatkan fungsi konsensus. Secara umum, tahapan untuk penyelesaian kasus kluster *ensambel* seperti yang terlihat pada Gambar (2.3).



3. Melakukan pengelompokan objek untuk sub variabel kategorik menggunakan analisis kluster menggunakan metode *K-Modes*.
4. Menerapkan proses *ensemble* dengan menggabung hasil kluster pada tahap 2 dan 3.
5. Melakukan analisis kluster menggunakan *ensemble* ROCK yang akan dijelaskan pada sub bab I.

#### **J. *Robust Clustering Using Links (ROCK)***

Pengelompokan menggunakan metode ROCK ini menggunakan konsep *link* yang digunakan untuk melakukan pengukuran terhadap kesamaan dan kedekatan yang terjadi pada sepasang titik data (Guha, Rastogi, & Shim, 2000). Objek pengamatan yang memiliki *link* (tingkat hubungan) tinggi, maka akan dikelompokkan menjadi satu kluster. Sedangkan objek pengamatan yang memiliki *link* rendah akan dipisahkan dari pengelompokan data tersebut.

Metode ROCK dipilih karena memiliki beberapa kelebihan. Diantaranya yaitu mempunyai tingkat keakurasian yang lebih baik jika dibandingkan dengan metode hirarki lainnya. Selain itu, Metode ROCK memiliki sifat skalabilitas yang baik. Metode ROCK ini mampu menangani data yang mengandung *outlier* secara efektif (Sudipo Guha, Rajeev Rastogi, 1999).

Pengelompokan *ensemble* menggunakan metode ROCK dapat diselesaikan dengan tiga langkah penyelesaian. Tahap pertama yang harus dilakukan adalah menghitung *similaritas*. Ukuran kedekatan atau kemiripan antara objek  $ke - i$  dan objek  $ke - j$  dapat dihitung menggunakan Persamaan (2.20).





















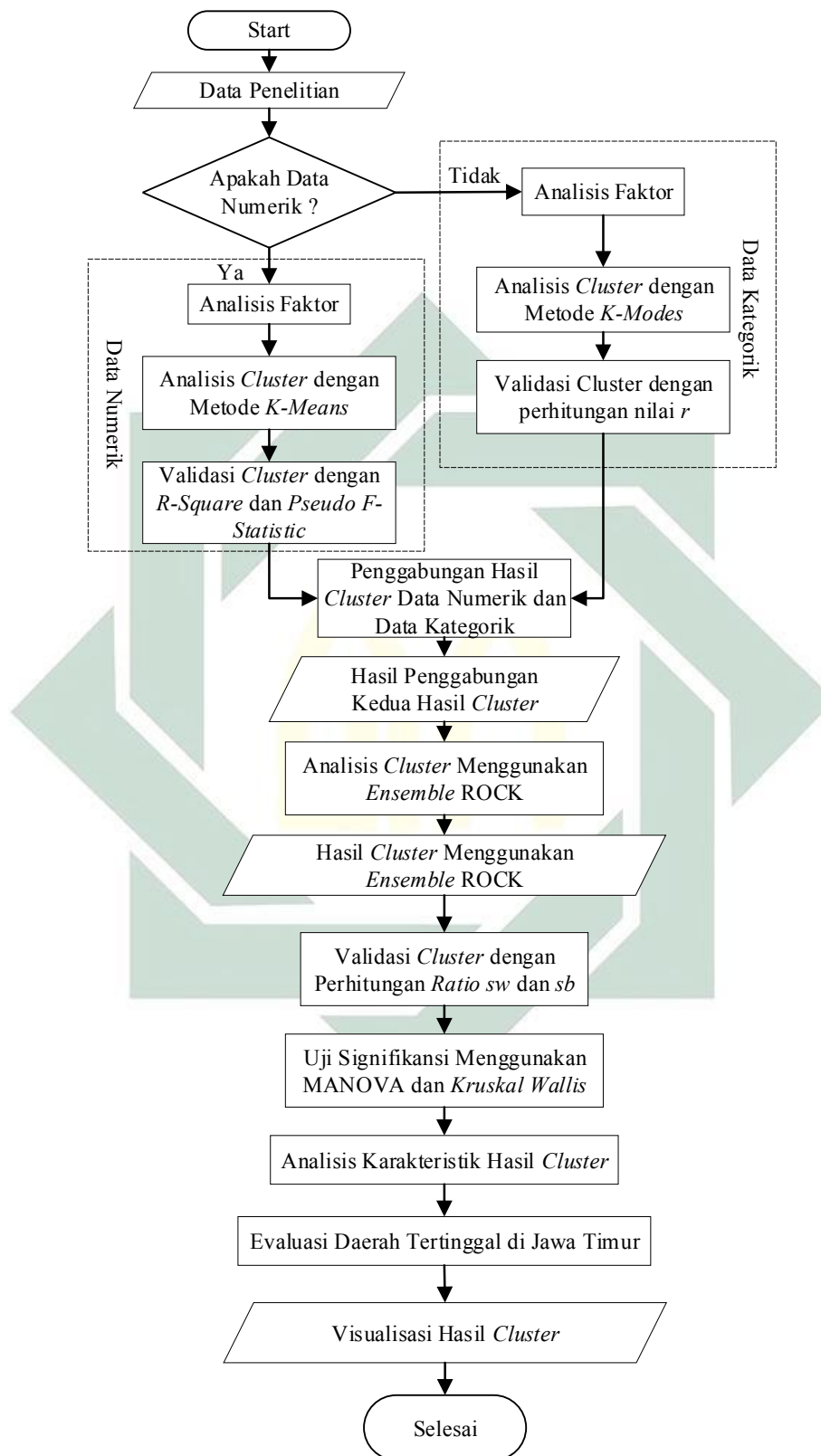


Tabel 3.2 Variabel Kriteria Data Numerik (Lanjutan)

Kriteria	Indikator	Variabel	Sumber	
Karakteristik daerah	Presentase jumlah desa terkena bencana gempa	$x_3$	Potensi Desa Jawa Timur	
	Presentase jumlah desa terkena bencana tanah longsor	$x_4$	Potensi Desa Jawa Timur	
	Presentase jumlah desa terkena bencana banjir	$x_5$	Potensi Desa Jawa Timur	
	Presentase desa dengan terkena bencana lainnya	$x_6$	Potensi Desa Jawa Timur	
	Presentase kawasan hutan lindung	$x_7$	Potensi Desa Jawa Timur	
	Presentase desa yang melakukan pelestarian lahan kritis	$x_8$	Potensi Desa Jawa Timur	
	Presentase desa yang mempunyai konflik	$x_9$	Potensi Desa Jawa Timur	
	Sumber Manusia	Angka Harapan hidup (tahun)	$x_{10}$	Indeks Pembangunan Manusia
		Rata-rata lama sekolah (tahun)	$x_{11}$	Indeks Pembangunan Manusia
Angka melek huruf (tahun)		$x_{12}$	Indeks Pembangunan Manusia	
Jarak ibu kota Kabupaten ke Ibu Kota provinsi (km)		$x_{13}$	Jawa Timur Dalam Angka	
Aksesibilitas	Jumlah desa dengan kemudahan akses ke pelayanan keamanan >5 km	$x_{14}$	Potensi Desa Jawa Timur	
	Jumlah desa dengan permukaan jalan terluas aspal	$x_{15}$	Potensi Desa Jawa Timur	
	Jumlah desa dengan permukaan jalan terluas diperkeras	$x_{16}$	Potensi Desa Jawa Timur	
	Jumlah desa dengan permukaan jalan terluas tanah	$x_{17}$	Potensi Desa Jawa Timur	
Infrastruktur	Jumlah desa dengan permukaan jalan terluas lainnya	$x_{18}$	Potensi Desa Jawa Timur	
	Jumlah desa mempunyai pasar tanpa bangunan permanen	$x_{19}$	Potensi Desa Jawa Timur	
	Jumlah prasarana kesehatan per 1000 penduduk	$x_{20}$	Potensi Desa Jawa Timur	
	Jumlah dokter per 1000 penduduk	$x_{21}$	Potensi Desa Jawa Timur	
	Jumlah SMA per 1000 penduduk	$x_{22}$	Potensi Desa Jawa Timur	
	Presentase rumah tangga pengguna listrik (persen)	$x_{23}$	Potensi Desa Jawa Timur	
	Presentase rumah tangga pengguna telepon (persen)	$x_{24}$	Potensi Desa Jawa Timur	
	Presentase rumah tangga pengguna air bersih	$x_{25}$	Potensi Desa Jawa Timur	
	Kemampuan Keuangan Daerah	Derajat Desentralisasi Fiskal	$x_{26}$	Jawa Timur Dalam Angka
Karakteristik daerah tertentu		Presentase Desa Tertinggal	$x_{27}$	Indeks Pembangunan Desa







Gambar 3.1 Diagram Alir Tahapan Analisis Data



Gambar 3.2, namun perhitungan jarak kemiripan dihitung berdasarkan frekuensi dari *modes* menggunakan Persamaan (2.17) dan (2.18)

6. Melakukan validasi pengelompokan optimum menggunakan perhitungan nilai  $r$  (akurasi tertinggi) berdasarkan Persamaan (2.19).
7. Menggabungkan hasil pengelompokan dari tahap 4 dan 5 sebagai variabel baru yang bertipe data kategorik.
8. Melakukan analisis kluster hasil pengelompokan pada tahap 6 menggunakan metode ROCK dengan tahap analisis sebagai berikut :
  - a. Menghitung  $sim(X_i, X_j)$  sebagai pengukuran *similaritas* menggunakan Persamaan (2.20).
  - b. Menentukan *Neighbors* (tetangga) dengan menghitung nilai *link* menggunakan Persamaan (2.22).
  - c. Mengitung nilai *Goodness measure* menggunakan Persamaan (2.21).
  - d. Membandingkan hasil pengelompokan dari masing-masing *threshold* ( $\theta$ ) yang telah ditentukan peneliti.
    - a. Validasi *clustering* menggunakan perhitungan nilai *ratio sw dan sb* berdasarkan Persamaan (2.29) dan (2.30).
9. Melakukan pengujian MANOVA pada data numerik dengan menggunakan persamaan (2.28) dan uji Kruskal Wallis untuk data kategorik dengan menggunakan persamaan (2.31).
10. Melakukan visualisasi hasil *cluster* dengan perwanaan pada peta.





Tabel 4.1 Hasil uji KMO dan Uji Barlett

Kaiser-Meyer-Olkin Measure of Sampling Adequacy.	,524	
Bartlett's Test of Sphericity	Approx. Chi-Square	744,995
	Df	300
	Sig.	,000

Berdasarkan Tabel 4.1 diketahui bahwa nilai KMO (0,524) > 0,500 dan nilai signifikansi uji *Bartlett's Test of Sphericity* diketahui bahwa nilai *sig* (0,000) < ( $\alpha = 0,05$ ). Hal tersebut mengindikasikan bahwa data penelitian telah memenuhi korelasi dan cukup untuk difaktorkan. Hal ini disesuaikan dengan kriteria kesesuaian penggunaan analisis faktor menggunakan nilai KMO yang terdapat pada Tabel 2.3.

Langkah selanjutnya adalah proses *factoring*. Proses *factoring* merupakan proses pemisahan beberapa variabel yang memiliki korelasi kuat. Metode yang dipakai adalah PCA (*Principal Components Analysis*). Pada Tabel 4.2, akan ditunjukkan hasil dari proses *factoring* untuk menentukan hasil dari komponen yang terbentuk dengan melihat nilai *eigenvalue* lebih dari 1.

Tabel 4.2 Hasil *factoring* menggunakan PCA

Component	Initial Eigenvalues		
	Total	% of Variance	Cumulative %
1	<b>7,092</b>	28,366	<b>28,366</b>
2	<b>4,273</b>	17,091	<b>45,457</b>
3	<b>2,157</b>	8,626	<b>54,084</b>
4	<b>1,898</b>	7,594	<b>61,678</b>
5	<b>1,587</b>	6,348	<b>68,026</b>
6	<b>1,430</b>	5,718	<b>73,744</b>
7	<b>1,073</b>	4,293	<b>78,037</b>
8	<b>1,030</b>	4,121	<b>82,158</b>
9	,781	3,123	85,282
10	,658	2,633	87,914
11	,642	2,569	90,484
12	,544	2,178	92,661
13	,362	1,449	94,110
14	,299	1,198	95,308
15	,240	,961	96,269

Tabel 4.2 Hasil *factoring* menggunakan PCA (Lanjutan)

Component	Initial Eigenvalues		
	Total	% of Variance	Cumulative %
16	,234	,937	97,206
17	,197	,789	97,995
18	,128	,510	98,505
19	,114	,457	98,963
20	,076	,304	99,267
21	,059	,236	99,503
22	,053	,214	99,717
23	,035	,138	99,855
24	,024	,097	99,952
25	,012	,048	100,000

Berdasarkan Tabel 4.2, terlihat bahwa jumlah komponen yang memiliki nilai *eigenvalue* lebih dari 1 sebanyak 8 komponen dengan besar nilai *varians comulatif* sebesar 82,16 % yang menunjukkan bahwa 8 komponen yang terpilih dapat mewakili seluruh variabel penelitian sebesar 82,16 %. Dengan demikian, dalam proses analisis kluster, akan digunakan 8 komponen itu untuk mewakili 27 variabel numerik data penelitian. Selanjutnya, untuk menentukan variabel dari 8 komponen yang terbentuk, dapat ditunjukkan dengan nilai *loading factor* terbesar setiap variabelnya yang terlihat pada Tabel 4.3.

Tabel 4.3 Nilai *Loading factor* masing-masing variabel

Indikator	Faktor							
	1	2	3	4	5	6	7	8
$x_{11}$	<b>,937</b>	,047	-,207	-,054	-,078	-,089	,139	,048
$x_1$	-,889	-,034	,088	-,031	,148	-,017	,104	-,010
$x_2$	,849	,247	-,216	-,167	,105	,024	,073	,063
$x_{12}$	,760	-,056	-,037	-,256	-,058	,098	,099	-,137
$x_{25}$	,741	,188	-,241	-,078	,374	,064	,062	-,022
$x_{27}$	-,712	-,075	-,058	-,232	,369	-,026	,088	-,184
$x_{10}$	,661	,178	-,048	,164	-,247	-,334	,145	,100
$x_{24}$	,646	,108	-,413	,019	,097	-,230	,395	-,058
$x_{15}$	-,543	,461	,007	-,086	-,504	-,077	,133	,337
$x_{22}$	-,034	<b>,894</b>	,021	-,152	,093	-,022	,198	-,086
$x_{20}$	,335	,857	-,100	-,059	-,126	,024	,118	,013
$x_{21}$	,198	,839	,022	-,062	-,308	-,069	,124	,153
$x_{19}$	-,013	,755	,138	,022	,173	-,174	-,344	-,090
$x_{26}$	,336	,502	,198	-,033	-,021	,171	,389	,270





Data yang dikluster terdiri dari 38 data Kabupaten/Kota dan akan dilakukan pengklasteran menurut kriteria dan indikator penentuan daerah tertinggal berdasarkan 8 variabel terpilih dari tahap analisis faktor. Dalam hal ini, akan diberikan contoh perhitungan manual untuk 10 data dari 38 data Kabupaten/Kota sebagai sampel perhitungan yang diambil secara random. Sepuluh data terpilih adalah data ke 1, 4, 9, 12, 15, 18, 21, 27, 31 dan 36. Tabel 4.5 adalah data sampel yang digunakan untuk perhitungan manual.

Tabel 4.5 Data sampel perhitungan manual *K-Means*

Data ke-	Kabupaten	$x_3$	$x_5$	$x_8$	$x_9$	$x_{11}$	$x_{13}$	$x_{17}$	$x_{22}$
1	Pacitan	79,532	12,865	89,474	0,585	6,430	276	2	0,009
4	Tulungagung	2,952	5,904	73,801	3,321	7,450	154	3	0,024
9	Jember	1,210	21,371	88,710	1,613	5,633	198	7	0,069
12	Situbondo	1,471	27,941	77,941	0,735	5,540	194	0	0,015
15	Sidoarjo	0,000	12,286	63,714	1,714	10,090	23	0	0,06
18	Nganjuk	0,000	16,549	84,507	5,634	7,310	119	0	0,025
21	Ngawi	0,000	22,581	84,793	0	6,520	181	9	0,019
27	Sampang	0,000	10,753	95,699	1,075	3,490	90	0	0,028
31	Kota Blitar	0,000	0,000	85,714	0	9,810	167	0	0,008
36	Kota Madiun	0,000	14,815	81,481	7,407	10,900	169	0	0,013

Tahap awal yang akan dilakukan adalah menentukan jumlah  $k$ . Dalam hal ini akan diberikan contoh  $k = 4$ . Selanjutnya, akan dilakukan pengolahan untuk iterasi ke-1 dengan menentukan *centroid* secara random untuk masing-masing  $k$ .

Tabel 4.6 adalah *centroid* iterasi ke-1 yang dipilih secara random dari Tabel 4.5

Tabel 4.6 *Centroid* iterasi ke-1

Data ke-	Kabupaten	$x_3$	$x_5$	$x_8$	$x_9$	$x_{11}$	$x_{13}$	$x_{17}$	$x_{22}$	<i>Centroid</i>
9	Jember	1,210	21,371	88,710	1,613	5,630	198	7	0,069	C1
18	Nganjuk	0,000	16,549	84,507	5,633	7,310	119	0	0,025	C2
27	Sampang	0,000	10,753	95,699	1,075	3,490	90	0	0,028	C3
36	Kota Madiun	0,000	14,815	81,481	7,407	10,900	169	0	0,013	C4





Tabel 4.8 Pengelompokan data berdasarkan kluster 1

Data ke-	$x_3$	$x_5$	$x_8$	$x_9$	$x_{11}$	$x_{13}$	$x_{17}$	$x_{22}$
1	79,532	12,866	89,474	0,585	6,43	276	2	0,009
9	1,209	21,371	88,709	1,613	5,63	198	7	0,069
12	1,471	27,941	77,941	0,735	5,54	194	0	0,015
21	0	22,581	84,793	0	6,52	181	9	0,019

Berdasarkan Tabel 4.8, akan dihasilkan *centroid* 1 (C1) baru untuk melakukan iterasi ke-2 dengan menghitung rata-rata ( $\bar{x}$ ) setiap data.

$$\bar{x}_3 = \frac{79,532+1,209+1,471+0}{4} = \frac{82,212}{4} = 20,553$$

$$\bar{x}_5 = \frac{12,866+21,371+27,941+22,581}{4} = \frac{84,758}{4} = 21,190$$

Dan seterusnya hingga perhitungan  $\bar{x}_{22}$

Selanjutnya untuk pengelompokan data berdasarkan kluster 2, dapat dilihat pada Tabel 4.9.

Tabel 4.9 Pengelompokan data berdasarkan kluster 2

Data ke-	$x_3$	$x_5$	$x_8$	$x_9$	$x_{11}$	$x_{13}$	$x_{17}$	$x_{22}$
18	0	16,549	84,507	5,634	7,31	119	0	0,025

Berdasarkan Tabel 4.9, akan dihasilkan *centroid* 2 (C2) baru untuk melakukan iterasi ke-2 dengan menghitung rata-rata ( $\bar{x}$ ) setiap data.

$$\bar{x}_3 = \frac{0}{1} = 0$$

$$\bar{x}_5 = \frac{16,549}{1} = 16,549$$

Dan seterusnya hingga perhitungan  $\bar{x}_{22}$

Selanjutnya untuk pengelompokan data berdasarkan kluster 3, dapat dilihat pada Tabel 4.10.

Tabel 4.10 Pengelompokan data berdasarkan kluster 3

Data ke-	$x_3$	$x_5$	$x_8$	$x_9$	$x_{11}$	$x_{13}$	$x_{17}$	$x_{22}$
15	0	12,286	63,714	1,714	10,09	23	0	0,06
27	0	10,753	95,69892	1,075	3,49	90	0	0,028

Berdasarkan Tabel 4.9, akan dihasilkan *centroid* 3 (C3) baru untuk melakukan iterasi ke-2 dengan menghitung rata-rata ( $\bar{x}$ ) setiap data.

$$\bar{x}_3 = \frac{0+0}{2} = 0$$

$$\bar{x}_5 = \frac{12,286+10,753}{2} = \frac{23,038}{2} = 11,519$$

Dan seterusnya hingga perhitungan  $\bar{x}_{22}$

Selanjutnya untuk pengelompokan data berdasarkan kluster 4, dapat dilihat pada Tabel 4.11.

Tabel 4.11 Pengelompokan data berdasarkan kluster 4

Data ke-	$x_3$	$x_5$	$x_8$	$x_9$	$x_{11}$	$x_{13}$	$x_{17}$	$x_{22}$
4	2,952	5,904	73,801	3,321	7,45	154	3	0,024
31	0	0	85,714	0	9,81	167	0	0,008
36	0	14,815	81,481	7,407	10,9	169	0	0,013

Berdasarkan Tabel 4.9, akan dihasilkan *centroid* 4 (C4) baru untuk melakukan iterasi ke-2 dengan menghitung rata-rata ( $\bar{x}$ ) setiap data.

$$\bar{x}_3 = \frac{2,952+0+0}{3} = \frac{2,952}{3} = 0,984$$

$$\bar{x}_5 = \frac{5,904+0+14,815}{3} = \frac{20,719}{3} = 6,906$$

Dan seterusnya hingga perhitungan  $\bar{x}_{22}$

Berdasarkan perhitungan rata-rata dari Tabel 4.8, 4.9, 4.10 dan 4.11, didapatkan *centroid* baru untuk melakukan iterasi ke-2 sesuai dengan Tabel 4.12.

Tabel 4.12 *Centroid* untuk iterasi ke-2

<i>Centroid</i>	$x_3$	$x_5$	$x_8$	$x_9$	$x_{11}$	$x_{13}$	$x_{17}$	$x_{22}$
C1	20,553	21,19	85,229	0,733	6,03	212,25	4,5	0,028
C2	0	16,549	84,507	5,634	7,31	119	0	0,025
C3	0	11,519	79,707	1,395	6,79	56,5	0	0,044
C4	0,984	6,906	80,332	3,576	9,387	163,333	1	0,015

Setelah ditetapkan 4 *centroid* baru, langkah selanjutnya adalah menghitung jarak masing-masing data dari keempat *centroid* menggunakan jarak *euclidean* berdasarkan persamaan 2.13. Dengan cara yang sama pada iterasi ke-1 didapatkan hasil perhitungan jarak *euclidean* setiap data dengan keempat *centroid*. Selanjutnya dari hasil perhitungan tersebut, dipilih jarak terdekat antara data dengan salah satu dari keempat *centroid* pada Tabel 4.12. Kemudian, data tersebut akan dialokasikan ke *centroid* terdekat sebagai hasil kluster. Tabel 4.13 adalah hasil perhitungan jarak *euclidean* dan hasil kluster untuk iterasi ke-2.

Tabel 4.13 Hasil perhitungan jarak *euclidean* dan hasil kluster iterasi ke-2

Data ke-	C1	C2	C3	C4	Hasil
1	<b>7558,715</b>	31042,870	54607,610	19001,360	1
4	3829,150	1476,029	9594,520	<b>142,464</b>	4
9	<b>596,711</b>	6351,366	20252,220	1535,208	1
12	<b>777,564</b>	5827,177	19183,209	1412,732	1
15	36729,681	9689,609	<b>1389,584</b>	20004,468	3
18	9159,778	0,000	3972,836	2086,376	2
21	1421,602	3993,823	15731,492	<b>663,667</b>	4
27	15493,488	<b>1035,232</b>	1389,584	5671,703	2
31	2484,115	2617,327	12390,101	<b>105,045</b>	4
36	2389,176	2528,196	12723,306	<b>114,914</b>	4

Berdasarkan Tabel 4.13, diketahui bahwa data ke-1 masuk kedalam kluster 1, karena data ke-1 memiliki jarak terdekat dengan *centroid* 1. Data ke-4 masuk



adalah hasil perhitungan rata-rata masing-masing data dalam kelompok yang sama. Dimana hasil perhitungan tersebut akan dijadikan sebagai *centroid* baru pada iterasi ke-3.

Tabel 4.15 *Centroid* iterasi ke-3

<i>Centroid</i>	$x_3$	$x_5$	$x_8$	$x_9$	$x_{11}$	$x_{13}$	$x_{17}$	$x_{22}$
C1	27,404	20,726	85,375	0,978	5,867	222,667	3	0,031
C2	0	13,651	90,103	3,355	5,4	104,5	0	0,027
C3	0	12,286	63,714	1,714	10,09	23	0	0,06
C4	0,738	10,825	81,447	2,682	8,67	167,75	3	0,016

Dengan cara yang sama pada iterasi ke-1 dan iterasi ke-2, didapatkan hasil perhitungan jarak *euclidean* setiap data dengan keempat *centroid*. Selanjutnya dari hasil perhitungan tersebut, dipilih jarak terdekat antara data dengan salah satu dari keempat *centroid* pada Tabel 4.15. Kemudian, data tersebut akan dialokasikan ke *centroid* terdekat sebagai hasil kluster. Tabel 4.16 adalah hasil perhitungan jarak *euclidean* dan hasil kluster untuk iterasi ke-3.

Tabel 4.16 Hasil perhitungan jarak *euclidean* dan hasil kluster iterasi ke-3

Data ke-	C1	C2	C3	C4	Hasil
1	<b>5641,833</b>	35751,361	71016,922	18005,585	1
4	5674,662	2797,946	17330,729	<b>278,545</b>	4
9	1322,593	8857,341	31402,677	<b>1105,635</b>	4
12	1610,813	8371,412	29712,323	<b>1017,447</b>	4
15	41185,561	7365,165	<b>0,000</b>	21281,655	3
18	11548,725	<b>258,808</b>	9689,609	2438,800	2
21	2528,260	6053,696	25610,967	<b>373,313</b>	4
27	18572,141	<b>258,808</b>	5558,337	6287,136	2
31	4304,948	4142,562	21373,959	<b>153,986</b>	4
36	3756,874	4282,611	21671,140	<b>54,329</b>	4

Berdasarkan Tabel 4.16, diketahui bahwa data ke-1 masuk kedalam kluster 1, karena data ke-1 memiliki jarak terdekat dengan *centroid* 1. Data ke-4 masuk





sama. Dimana hasil perhitungan tersebut akan dijadikan sebagai *centroid* baru pada iterasi ke-4.

Tabel 4.18 *Centroid* iterasi ke-4

<i>Centroid</i>	$x_3$	$x_5$	$x_8$	$x_9$	$x_{11}$	$x_{13}$	$x_{17}$	$x_{22}$
C1	79,532	12,865	89,474	0,585	6,430	276,000	2,000	0,009
C2	0,000	13,651	90,103	3,355	5,400	104,500	0,000	0,027
C3	0,000	12,286	63,714	1,714	10,090	23,000	0,000	0,060
C4	0,939	15,435	82,073	2,179	7,642	177,167	3,167	0,025

Dengan cara yang sama pada iterasi sebelumnya, didapatkan hasil perhitungan jarak *euclidean* setiap data dengan keempat *centroid*. Selanjutnya dari hasil perhitungan tersebut, dipilih jarak terdekat antara data dengan salah satu dari keempat *centroid* pada Tabel 4.18. Kemudian, data tersebut akan dialokasikan ke *centroid* terdekat sebagai hasil klaster. Tabel 4.19 adalah hasil perhitungan jarak *euclidean* dan hasil klaster untuk iterasi ke-4.

Tabel 4.19 Hasil perhitungan jarak *euclidean* dan hasil klaster iterasi ke-4

Data Ke-	C1	C2	C3	C4	Hasil
1	<b>0,000</b>	35751,361	71016,922	16011,699	1
4	21052,147	2797,946	17330,729	<b>701,396</b>	4
9	12318,039	8857,341	31402,677	<b>532,439</b>	4
12	13182,699	8371,412	29712,323	<b>473,647</b>	4
15	71016,922	7365,165	<b>0,000</b>	24131,456	3
18	31042,870	<b>258,808</b>	9689,609	3413,477	2
21	15516,012	6053,696	25610,967	<b>114,062</b>	4
27	40977,467	<b>258,808</b>	5558,337	7834,976	2
31	18401,786	4142,562	21373,959	<b>375,226</b>	4
36	17912,569	4282,611	21671,140	<b>116,287</b>	4

Berdasarkan Tabel 4.19, diketahui bahwa data ke-1 masuk kedalam klaster 1, karena data ke-1 memiliki jarak terdekat dengan *centroid* 1. Data ke-4 masuk





$$\bar{x}_{33} = \frac{0}{1} = 0, \bar{x}_{53} = \frac{12,286}{1} = 12,286, \dots, \bar{x}_{223} = \frac{0,06}{1} = 0,06$$

$$\bar{x}_{34} = \frac{2,952+1,210+1,471+0+0}{6} = 0,938, \bar{x}_{54} = \frac{5,904+21,371+27,941+22,581+0+14,815}{6} =$$

$$15,435, \dots, \bar{x}_{224} = \frac{0,024+0,069+0,015+0,019+0,008+0,013}{6} = 0,025$$

Setelah didapatkan nilai nilai  $\bar{x}_{l1}, \bar{x}_{l2}, \bar{x}_{l3}$  dan  $\bar{x}_{l4}$  langkah selanjutnya adalah menghitung  $\sum_{l=1}^m \sum_{i=1}^{n_c} (x_{ilc} - \bar{x}_{lc})^2$ .

$$\sum_{l=1}^m \sum_{i=1}^{n_c} (x_{il1} - \bar{x}_{l1})^2 = (79,532 - 79,532)^2 + (2,952 - 2,952)^2 + \dots + (0,013 - 0,013)^2 = 0$$

$$\sum_{l=1}^m \sum_{i=1}^{n_c} (x_{il2} - \bar{x}_{l2})^2 = ((0 - 0)^2 + (0 - 0)^2) + ((16,549 - 13,651)^2 + (10,753 - 13,651)^2) + \dots + ((0,025 - 0,0265)^2 + (0,028 - 0,0265)^2)$$

$$= 517,616$$

$$\sum_{l=1}^m \sum_{i=1}^{n_c} (x_{il3} - \bar{x}_{l3})^2 = (0 - 0)^2 + (12,286 - 12,286)^2 + \dots + (0,06 - 0,06)^2 = 0$$

$$\sum_{l=1}^m \sum_{i=1}^{n_c} (x_{il4} - \bar{x}_{l4})^2 = ((2,952 - 0,938)^2 + (1,210 - 0,938)^2 + \dots + (0 - 0,938)^2) +$$

$$((5,904 - 15,435)^2 + (21,371 - 15,435)^2 + \dots + (14,815 - 15,435)^2) + \dots + ((0,024 - 0,025)^2 + (0,069 - 0,025)^2 + \dots +$$

$$(0,013 - 0,025)^2) = 2313,057$$

Setelah didapatkan nilai nilai  $\bar{x}_{l1}, \bar{x}_{l2}, \bar{x}_{l3}$  dan  $\bar{x}_{l4}$  dan  $\sum_{l=1}^m \sum_{i=1}^{n_c} (x_{ilc} - \bar{x}_{lc})^2$ , selanjutnya akan dihitung nilai SSW sebagai berikut.

$$SSW = \sum_{c=1}^C \sum_{l=1}^m \sum_{i=1}^{n_c} (x_{ilc} - \bar{x}_{lc})^2 = 0 + 517,616 + 0 + 2313,057 = 2830,673$$

Berdasarkan nilai SST dan SSW didapatkan nilai SSB berdasarkan Persamaan 2.18 sebagai berikut.

$$SSB = 49128,825 - 2830,673 = 46298,152$$

Setelah nilai SST, SSW, dan SSB didapatkan, akan dihitung nilai *R-Square* dan *Pseudo F-Statistic* menggunakan Persamaan 2.15 dan 2.14.

$$R - Square = \frac{SSW}{SST} = \frac{46298,152}{49128,825} = 0,942383$$



Tabel 4.22 Hasil klaster 3 kelompok menggunakan *K-Means*

Kabupaten	Hasil Klaster	Kabupaten	Hasil Klaster
Kab.Pacitan	1	Kab.Magetan	1
Kab.Ponorogo	1	Kab.Ngawi	1
Kab. Trenggalek	1	Kab.Bojonegoro	3
Kab.Tulungagung	1	Kab. Tuban	3
Kab.Blitar	1	Kab. Lamongan	2
Kab.Kediri	3	Kab. Gresik	2
Kab.Malang	3	Kab.Bangkalan	2
Kab.Lumajang	3	Kab. Sampang	3
Kab. Jember	1	Kab.Pamekasan	3
Kab. Banyuwangi	1	Kab. Sumenep	1
Kab. Bondowoso	1	Kota Kediri	3
Kab.Situbondo	1	Kota Blitar	1
Kab. Probolinggo	3	Kota Malang	3
Kab.Pasuruan	2	Kota Probolinggo	3
Kab. Sidoarjo	2	Kota Pasuruan	2
Kab.Mojokerto	2	Kota Mojokerto	2
Kab.Jombang	3	Kota Madiun	1
Kab.Nganjuk	3	Kota Surabaya	2
Kab.Madiun	1	Kota Batu	3

Tabel 4.23 Hasil klaster 4 kelompok menggunakan *K-Means*

Kabupaten	Hasil Klaster	Kabupaten	Hasil Klaster
Kab.Pacitan	4	Kab.Magetan	2
Kab.Ponorogo	2	Kab.Ngawi	2
Kab. Trenggalek	2	Kab.Bojonegoro	3
Kab.Tulungagung	2	Kab. Tuban	3
Kab.Blitar	2	Kab. Lamongan	1
Kab.Kediri	3	Kab. Gresik	1
Kab.Malang	3	Kab.Bangkalan	1
Kab.Lumajang	3	Kab. Sampang	3
Kab. Jember	3	Kab.Pamekasan	3
Kab. Banyuwangi	4	Kab. Sumenep	2
Kab. Bondowoso	2	Kota Kediri	3
Kab.Situbondo	2	Kota Blitar	2
Kab. Probolinggo	3	Kota Malang	3
Kab.Pasuruan	1	Kota Probolinggo	3
Kab. Sidoarjo	1	Kota Pasuruan	1
Kab.Mojokerto	1	Kota Mojokerto	1
Kab.Jombang	3	Kota Madiun	2
Kab.Nganjuk	3	Kota Surabaya	1
Kab.Madiun	2	Kota Batu	3







Berdasarkan Tabel 4.26, terlihat bahwa jumlah komponen yang memiliki nilai *eigenvalue* lebih dari 1 sebanyak 3 komponen dengan besar nilai varians kumulatif sebesar 68,670 % yang menunjukkan bahwa 3 komponen yang terpilih dapat mewakili seluruh variabel penelitian sebesar 68,670 %. Dengan demikian, dalam proses analisis kluster, akan digunakan 3 komponen itu untuk mewakili 9 variabel kategorik data penelitian. Selanjutnya, untuk menentukan variabel dari 3 komponen yang terbentuk, dapat ditunjukkan dengan nilai *loading factor* terbesar setiap variabelnya yang terlihat pada Tabel 4.27.

Tabel 4.27 Nilai *Loading factor* masing-masing variabel

Indikator	Component		
	1	2	3
$x_{34}$	<b>,818</b>	,341	-,152
$x_{32}$	,800	,054	,170
$x_{36}$	,777	,130	-,134
$x_{35}$	,655	-,050	,310
$x_{30}$	-,121	<b>,874</b>	-,146
$x_{31}$	,385	,786	,334
$x_{33}$	,319	,710	,385

Berdasarkan masing-masing nilai *loading factor* dari setiap variabel, akan dipilih nilai *loading factor* terbesar dari setiap faktornya untuk mengetahui variabel mana yang termasuk kedalam 3 komponen yang terbentuk. Variabel terpilih dari masing-masing faktor dapat dilihat pada Tabel 4.28.

Tabel 4.28 Tiga Variabel Terpilih

Faktor	Indikator	Nilai <i>Loading</i>
1	Daerah rawan bencana gempa bumi ( $x_{34}$ )	0,818
2	Daerah pasca konflik ( $x_{30}$ )	0,874
3	Daerah perbatasan ( $x_{28}$ )	0,867

Berdasarkan Tabel 4.28, 3 variabel terpilih tersebut yang akan dianalisis lebih lanjut menggunakan metode *K-Modes*.



















Tabel 4.41 Perhitungan nilai  $r$ 

Klaster	$x_{28}$	$x_{30}$	$x_{34}$
C1	4	3	2
C2	3	3	2
C3	2	2	2
C4	1	1	1
Jumlah	10	9	7
Rata-rata	1	0,9	0,7

Berdasarkan tabel 4.41, didapatkan perhitungan  $r$  sebagai berikut.

$$r = \frac{1 + 0,9 + 0,7}{3} = 0,86$$

Selanjutnya, untuk analisis kluster data secara keseluruhan, dihitung menggunakan sistem. Dimana hasil output yang didapatkan relevan dengan perhitungan sampel data yang telah dijelaskan diatas. Selanjutnya hasil pengklasteran 2 kelompok, 3 kelompok dan 4 kelompok yang dihitung pada Tabel 4.42, Tabel 4.43 dan Tabel 4.44.

Tabel 4.42 Hasil kluster 2 kelompok menggunakan  $K$ -Modes

Kabupaten	Hasil Kluster	Kabupaten	Hasil Kluster
Kab.Pacitan	1	Kab.Magetan	1
Kab.Ponorogo	1	Kab.Ngawi	1
Kab. Trenggalek	1	Kab.Bojonegoro	1
Kab.Tulungagung	2	Kab. Tuban	1
Kab.Blitar	2	Kab. Lamongan	1
Kab.Kediri	2	Kab. Gresik	1
Kab.Malang	2	Kab.Bangkalan	1
Kab.Lumajang	1	Kab. Sampang	1
Kab. Jember	2	Kab.Pamekasan	1
Kab. Banyuwangi	2	Kab. Sumenep	1
Kab. Bondowoso	2	Kota Kediri	1
Kab.Situbondo	2	Kota Blitar	1
Kab. Probolinggo	1	Kota Malang	1
Kab.Pasuruan	1	Kota Probolinggo	1
Kab. Sidoarjo	2	Kota Pasuruan	1
Kab.Mojokerto	2	Kota Mojokerto	1
Kab.Jombang	2	Kota Madiun	1
Kab.Nganjuk	2	Kota Surabaya	1
Kab.Madiun	2	Kota Batu	1

Tabel 4.43 Hasil klaster 3 kelompok menggunakan *K-Modes*

Kabupaten	Hasil Klaster	Kabupaten	Hasil Klaster
Kab.Pacitan	1	Kab.Magetan	1
Kab.Ponorogo	1	Kab.Ngawi	1
Kab. Trenggalek	1	Kab.Bojonegoro	3
Kab.Tulungagung	2	Kab. Tuban	3
Kab.Blitar	2	Kab. Lamongan	3
Kab.Kediri	2	Kab. Gresik	3
Kab.Malang	2	Kab.Bangkalan	1
Kab.Lumajang	1	Kab. Sampang	3
Kab. Jember	2	Kab.Pamekasan	3
Kab. Banyuwangi	2	Kab. Sumenep	3
Kab. Bondowoso	2	Kota Kediri	1
Kab.Situbondo	2	Kota Blitar	1
Kab. Probolinggo	1	Kota Malang	1
Kab.Pasuruan	1	Kota Probolinggo	1
Kab. Sidoarjo	2	Kota Pasuruan	1
Kab.Mojokerto	2	Kota Mojokerto	1
Kab.Jombang	2	Kota Madiun	1
Kab.Nganjuk	2	Kota Surabaya	1
Kab.Madiun	2	Kota Batu	1

Tabel 4.44 Hasil klaster 4 kelompok menggunakan *K-Modes*

Kabupaten	Hasil Klaster	Kabupaten	Hasil Klaster
Kab.Pacitan	1	Kab.Magetan	1
Kab.Ponorogo	1	Kab.Ngawi	1
Kab. Trenggalek	1	Kab.Bojonegoro	3
Kab.Tulungagung	2	Kab. Tuban	3
Kab.Blitar	2	Kab. Lamongan	3
Kab.Kediri	2	Kab. Gresik	3
Kab.Malang	2	Kab.Bangkalan	1
Kab.Lumajang	1	Kab. Sampang	3
Kab. Jember	2	Kab.Pamekasan	3
Kab. Banyuwangi	2	Kab. Sumenep	3
Kab. Bondowoso	2	Kota Kediri	4
Kab.Situbondo	2	Kota Blitar	4
Kab. Probolinggo	1	Kota Malang	4
Kab.Pasuruan	1	Kota Probolinggo	1
Kab. Sidoarjo	2	Kota Pasuruan	1
Kab.Mojokerto	2	Kota Mojokerto	4
Kab.Jombang	2	Kota Madiun	4
Kab.Nganjuk	2	Kota Surabaya	1
Kab.Madiun	2	Kota Batu	4

Berdasarkan hasil klaster dengan pembentukan 2 kelompok, 3 kelompok dan 4 kelompok, selanjutnya akan dibandingkan mana diantara 3 pengelompokan



Tabel 4.46 Struktur data campuran

Kabupaten	Hasil Klaster Numerik	Hasil Klaster Kategorik
Pacitan	4	1
Ponorogo	2	1
Trenggalek	2	1
.	.	.
.	.	.
.	.	.
Kota Mojokerto	1	4
Kota Madiun	2	4
Kota Surabaya	1	1
Kota Batu	3	4

Dalam penelitian ini, data campuran tersebut akan dikelompokkan menjadi 3 dan 4 klaster. Nilai *threshold* ( $\theta$ ) yang akan diuji cobakan sebanyak 10 *threshold* ( $\theta$ ) yaitu 0,1; 0,2; 0,3; 0,01; 0,02; 0,03; 0,04; dan 0,05. Dari 10 *threshold* yang digunakan, akan dipilih nilai *threshold* yang menghasilkan kelompok optimum dengan melihat perbandingan *ratio sw* dan *sb* terkecil. Tabel 4.47 adalah tabel hasil nilai *ratio sw* dan *sb* dari masing-masing *threshold* untuk pengelompokan 3 dan 4 klaster.

Tabel 4.47 Nilai *ratio sw* dan *sb* dari masing-masing *threshold* untuk pengelompokan 3 dan 4 klaster

<i>Threshold</i>	3 Klaster	4 Klaster
0,1	0,7237014	0,855867
0,15	0,5414150	0,9331397
0,2	0,4737199	0,5209103
0,25	1,3563698	0,8428222
0,3	0,4157780	0,4938904
0,01	0,5260732	0,8196005
0,02	0,5140327	<b>0,3917473</b>
0,03	<b>0,4041851</b>	0,8833502
0,04	0,5883901	0,8390868
0,05	0,5940107	0,5515427

Berdasarkan Tabel 4.47, diketahui bahwa nilai *ratio sw* dan *sb* terkecil dimiliki oleh *threshold* 0,02 dengan pengelompokan sebanyak 4 klaster. Seperti pada analisis klaster data numerik dan kategorik sebelumnya, dalam hal ini juga akan diberikan contoh perhitungan manual untuk 10 data dari 38 data

Kabupaten/Kota yang diambil secara acak. Sepuluh data terpilih adalah data ke 1, 4, 8, 12, 15, 18, 25, 27, 31 dan 37 dengan menggunakan nilai *threshold* 0,02 dengan pengelompokan sebanyak 4 kluster. Tabel 4.29 adalah data sampel yang digunakan untuk perhitungan manual.

Tabel 4.48 Data sampel perhitungan manual ROCK

Kode	Data Ke-	Kabupaten	Numerik	Kategorik
P1	1	Pacitan	1	1
P2	4	Tulungagung	4	2
P3	8	Lumajang	4	1
P4	12	Situbondo	4	1
P5	15	Sidoarjo	3	2
P6	18	Nganjuk	2	2
P7	25	Gresik	3	3
P8	27	Sampang	2	3
P9	31	Kota Blitar	4	4
P10	37	Kota Surabaya	3	1

Langkah pertama dalam analisis kluster menggunakan metode ROCK adalah menghitung *similaritas* menggunakan Persamaan 2.25.

$$sim(P1, P2) = \frac{P1 \cap P2}{P1 \cup P2} = \frac{n(P1 \cap P2)}{n(P1) + n(P2) - n(P1 \cap P2)} = \frac{0}{2 + 2 - 0} = \frac{0}{4} = 0$$

$$sim(P1, P3) = \frac{P1 \cap P3}{P1 \cup P3} = \frac{n(P1 \cap P3)}{n(P1) + n(P3) - n(P1 \cap P3)} = \frac{1}{2 + 2 - 1} = \frac{1}{3} = 0,3333$$

$$sim(P1, P4) = \frac{P1 \cap P4}{P1 \cup P4} = \frac{n(P1 \cap P4)}{n(P1) + n(P4) - n(P1 \cap P4)} = \frac{1}{2 + 2 - 1} = \frac{1}{3} = 0,3333$$

Dan seterusnya hingga  $sim(P9, P10)$

Untuk nilai *similaritas* dengan dirinya sendiri pasti bernilai 1. Hasil perhitungan tersebut akan dibentuk matrik *similaritas* sebagai berikut.





Dari matriks *Neighbor* A diatas, didapatkan banyaknya *link* antar objek pengamatan satu dengan yang lainnya dengan melakukan perkalian matriks  $A \times A$ . Matriks *link* dengan ukuran  $10 \times 10$  dapat dilihat sebagai berikut.

$$A \times A = \begin{matrix} P1 \\ P2 \\ P3 \\ P4 \\ P5 \\ P6 \\ P7 \\ P8 \\ P9 \\ P10 \end{matrix} \begin{bmatrix} 4 & 2 & 4 & 4 & 1 & 0 & 1 & 0 & 2 & 4 \\ 2 & 6 & 4 & 4 & 3 & 3 & 1 & 1 & 4 & 3 \\ 4 & 4 & 6 & 6 & 2 & 1 & 1 & 0 & 4 & 4 \\ 4 & 4 & 6 & 6 & 2 & 1 & 1 & 0 & 4 & 4 \\ 1 & 3 & 2 & 2 & 5 & 3 & 3 & 2 & 1 & 3 \\ 0 & 3 & 1 & 1 & 3 & 4 & 2 & 2 & 1 & 1 \\ 1 & 1 & 1 & 1 & 3 & 2 & 4 & 2 & 0 & 3 \\ 0 & 1 & 0 & 0 & 2 & 2 & 2 & 3 & 0 & 1 \\ 2 & 4 & 4 & 4 & 1 & 1 & 0 & 0 & 4 & 2 \\ 4 & 3 & 4 & 4 & 3 & 1 & 3 & 1 & 2 & 6 \end{bmatrix}$$

Karena *link* dengan dirinya sendiri didefinisikan dengan 0, maka matriks *link* B didapatkan sebagai berikut.

$$B = \begin{matrix} P1 \\ P2 \\ P3 \\ P4 \\ P5 \\ P6 \\ P7 \\ P8 \\ P9 \\ P10 \end{matrix} \begin{bmatrix} 0 & 2 & 4 & 4 & 1 & 0 & 1 & 0 & 2 & 4 \\ 2 & 0 & 4 & 4 & 3 & 3 & 1 & 1 & 4 & 3 \\ 4 & 4 & 0 & 6 & 2 & 1 & 1 & 0 & 4 & 4 \\ 4 & 4 & 6 & 0 & 2 & 1 & 1 & 0 & 4 & 4 \\ 1 & 3 & 2 & 2 & 0 & 3 & 3 & 2 & 1 & 3 \\ 0 & 3 & 1 & 1 & 3 & 0 & 2 & 2 & 1 & 1 \\ 1 & 1 & 1 & 1 & 3 & 2 & 0 & 2 & 0 & 3 \\ 0 & 1 & 0 & 0 & 2 & 2 & 2 & 0 & 0 & 1 \\ 2 & 4 & 4 & 4 & 1 & 1 & 0 & 0 & 0 & 2 \\ 4 & 3 & 4 & 4 & 3 & 1 & 3 & 1 & 2 & 0 \end{bmatrix}$$

*link* tersebut didapatkan dari irisan anggota *Neighbor*, misal diketahui  $Neighbor [P1] = \{P3, P4, P10\}$  dan  $Neighbor [P2] = \{P3, P4, P5, P6, P9\}$  maka  $Neighbor [P1] \cap Neighbor [P2] = \{P3, P4\}, n = 2$ . Dengan demikian, didapatkan *Link* (P1, P2) adalah 2, dan seterusnya. Setelah didapatkan matriks *Link* B, langkah selanjutnya adalah melakukan penggabungan kelompok dengan menghitung nilai *Goodness measure* menggunakan Persamaan 2.26. Sebelum menghitung nilai *Goodness Measure*, akan dihitung nilai  $f(\theta)$  sebagai berikut.

$$f(\theta) = \frac{1 - 0,07}{1 + 0,07} = 0,960784$$

$$G(P1, P2) = \frac{2}{(1 + 1)^{1+2(0,961)} - (1)^{1+2(0,961)} - (1)^{1+(0,961)}} = 0,358635$$

$$G(P1, P3) = \frac{4}{(1 + 1)^{1+2(0,961)} - (1)^{1+2(0,961)} - (1)^{1+2(0,961)}} = 0,717270744$$

Dan seterusnya hingga  $G(P9, P10)$  dan didapatkan matriks *Goodness Measure* atau *Local Heap* sebagai berikut.

$$GM = \begin{matrix} P1 \\ P2 \\ P3 \\ P4 \\ P5 \\ P6 \\ P7 \\ P8 \\ P9 \\ P10 \end{matrix} \begin{bmatrix} 0 & 0,359 & 0,717 & 0,717 & 0,179 & 0 & 0,179 & 0 & 0,359 & 0,717 \\ 0,359 & 0 & 0,717 & 0,717 & 0,538 & 0,538 & 0,179 & 0,179 & 0,717 & 0,538 \\ 0,717 & 0,717 & 0 & 1,076 & 0,359 & 0,179 & 0,179 & 0 & 0,717 & 0,717 \\ 0,717 & 0,717 & 1,076 & 0 & 0,359 & 0,179 & 0,179 & 0 & 0,717 & 0,717 \\ 0,179 & 0,538 & 0,358 & 0,358 & 0 & 0,538 & 0,538 & 0,259 & 0,179 & 0,538 \\ 0 & 0,538 & 0,179 & 0,179 & 0,538 & 0 & 0,359 & 0,359 & 0,179 & 0,179 \\ 0,179 & 0,179 & 0,179 & 0,179 & 0,538 & 0,359 & 0 & 0,359 & 0 & 0,538 \\ 0 & 0,179 & 0 & 0 & 0,359 & 0,359 & 0,359 & 0 & 0 & 0,179 \\ 0,359 & 0,717 & 0,717 & 0,717 & 0,179 & 0,179 & 0 & 0 & 0 & 0,359 \\ 0,717 & 0,538 & 0,717 & 0,717 & 0,538 & 0,179 & 0,538 & 0,179 & 0,359 & 0 \end{bmatrix}$$

Setelah didapatkan nilai *Goodness measure* atau *Local Heap*, langkah selanjutnya adalah menentukan *Global Heap* yang didapatkan dari nilai maksimum setiap baris dari *Local Heap*. Sehingga, didapatkan nilai *Global Heap* yang ditunjukkan dengan matriks berukuran  $10 \times 1$  sebagai berikut.

$$GH = \begin{matrix} P1 \\ P2 \\ P3 \\ P4 \\ P5 \\ P6 \\ P7 \\ P8 \\ P9 \\ P10 \end{matrix} \begin{bmatrix} 0,717 \\ 0,717 \\ \mathbf{1,076} \\ \mathbf{1,076} \\ 0,538 \\ 0,538 \\ 0,538 \\ 0,359 \\ 0,717 \\ 0,717 \end{bmatrix}$$



$$G(P1, P2) = \frac{2}{(1+1)^{1+2(0,961)} - (1)^{1+2(0,961)} - (1)^{1+(0,961)}} = 0,358635$$

$$G(P1, (P3, P4)) = \frac{4}{(1+2)^{1+2(0,961)} - (1)^{1+2(0,961)} - (2)^{1+2(0,961)}} = 0,247001321$$

Dan seterusnya hingga didapatkan  $G(P9, P10)$  dan didapatkan matriks *Goodness Measure* atau *Local Heap* sebagai berikut.

$$GM = \begin{matrix} P1 \\ P2 \\ P3, P4 \\ P5 \\ P6 \\ P7 \\ P8 \\ P9 \\ P10 \end{matrix} \begin{bmatrix} 0 & 0,359 & 0,247 & 0,179 & 0 & 0,179 & 0 & 0,359 & 0,717 \\ 0,359 & 0 & 0,247 & 0,538 & 0,538 & 0,179 & 0,179 & 0,717 & 0,538 \\ 0,247 & 0,247 & 0 & 0,126 & 0,062 & 0,062 & 0 & 0,247 & 0,247 \\ 0,179 & 0,538 & 0,126 & 0 & 0,538 & 0,538 & 0,359 & 0,179 & 0,538 \\ 0 & 0,538 & 0,062 & 0,538 & 0 & 0,359 & 0,359 & 0,179 & 0,179 \\ 0,179 & 0,179 & 0,062 & 0,538 & 0,359 & 0 & 0,359 & 0 & 0,538 \\ 0,359 & 0,179 & 0 & 0,359 & 0,359 & 0,359 & 0 & 0 & 0,179 \\ 0 & 0,717 & 0,247 & 0,179 & 0,179 & 0 & 0 & 0 & 0,359 \\ 0,717 & 0,539 & 0,247 & 0,538 & 0,179 & 0,538 & 0,179 & 0,359 & 0 \end{bmatrix}$$

Setelah didapatkan nilai *Goodness measure* atau *Local Heap*, langkah selanjutnya adalah menentukan *Global Heap* yang didapatkan dari nilai maksimum setiap baris dari *Local Heap*. Sehingga, didapatkan nilai *Global Heap* yang ditunjukkan dengan matriks berukuran  $10 \times 1$  sebagai berikut.

$$GH = \begin{matrix} P1 \\ P2 \\ P3, P4 \\ P5 \\ P6 \\ P7 \\ P8 \\ P9 \\ P10 \end{matrix} \begin{bmatrix} 0,717 \\ 0,717 \\ 0,247 \\ 0,538 \\ 0,538 \\ 0,538 \\ 0,359 \\ 0,717 \\ 0,717 \end{bmatrix}$$

Setelah didapatkan nilai *Global Heap*, langkah selanjutnya adalah menggabungkan objek yang memiliki *Global Heap* terbesar. Berdasarkan matriks *GH* diatas, diketahui bahwa nilai *Global Heap* terbesar dimiliki oleh  $P1, P2, P9,$  dan  $P10$ . Dengan demikian, oleh  $P1, P2, P9,$  dan  $P10$  dikelompokkan menjadi 1







Tabel 4.50 Hasil Uji *Kruskal Wallis*

Keterangan	Variabel							
	$x_{28}$	$x_{29}$	$x_{30}$	$x_{31}$	$x_{32}$	$x_{33}$	$x_{34}$	$x_{35}$
Chi-Square	7,206	7,944	3,194	3,244	2,753	4,838	2,078	0,866
Df	3	3	3	3	3	3	3	3
Asymp. Sig.	0,056	<b>0,047</b>	<b>0,036</b>	<b>0,036</b>	<b>0,043</b>	<b>0,018</b>	0,056	0,834

Berdasarkan Tabel 4.50, apabila dilihat dari variabel  $x_{29}, x_{30}, x_{31}, x_{32}$ , dan  $x_{33}$ , menunjukkan bahwa terdapat perbedaan antar klaster yang terbentuk, karena 5 variabel tersebut memiliki nilai signifikansi kurang dari (0,05). Namun, ketika dilihat berdasarkan variabel  $x_{28}, x_{34}, x_{35}$  dan  $x_{36}$ , menunjukkan bahwa tidak ada perbedaan antar klaster yang terbentuk, karena 3 variabel tersebut memiliki nilai signifikansi lebih dari (0,05).

Berdasarkan Peraturan Menteri Desa, Pembangunan Daerah Tertinggal Dan Transmigrasi Nomor 3 Tahun 2016 Pasal 17 dalam Menentukan Arah Ketertinggalan, diketahui bahwa masing-masing indikator yang telah ditetapkan oleh KPDT memiliki dua arah ketertinggalan. Dua arah tersebut terdiri dari arah positif dan negatif (Republik Indonesia, 2016). Arah positif menandakan bahwa semakin tinggi nilai indikator tersebut, maka semakin buruk juga keadaan suatu daerah tersebut. Sedangkan arah negatif menandakan bahwa semakin rendah nilai indikator tersebut, maka akan semakin buruk pula keadaan suatu daerah tersebut. Berikut akan disajikan statistik deskriptif (rata-rata) indikator dengan skala numerik tiap-tiap klaster dan arah ketertinggalannya pada Tabel 4.51.

Tabel 4.51 Statistik Deskriptif (Rata-rata) Indikator Skala Numerik Anggota Tiap Klaster

Indikator	Arah Ketertinggalan	Klaster 1	Klaster 2	Klaster 3	Klaster 4
		Presentase Penduduk Miskin (persen)	Positif	10,14	8,991
Pengeluaran penduduk perkapita (ribu rupiah)	Negatif	10 408,43	11304,12	<b>8618,577</b>	10051,7



Tabel 4.51 Statistik Deskriptif (Rata-rata) Indikator Skala Numerik Anggota Tiap Kluster (Lanjutan)

Indikator	Arah Keteringgalan	Kluster 1	Kluster 2	Kluster 3	Kluster 4
Presentase jumlah desa terkena bencana gempa	Positif	<b>9,02</b>	4,400129	1,661975	0
Presentase jumlah desa terkena bencana tanah longsor	Positif	8,69	<b>12,02233</b>	9,332308	4,149003
Presentase jumlah desa terkena bencana banjir	Positif	9,57	11,02762	<b>16,22358</b>	24,12029
Presentase desa dengan terkena bencana lainnya	Positif	0,61	0,73766	<b>4,018237</b>	1,237932
Presentase kawasan hutan lindung	Negatif	8,95	9,87059	14,30402	<b>0,82165</b>
Presentase desa yang melakukan pelestarian lahan kritis	Negatif	77,04	73,20741	84,98853	<b>73,20521</b>
Presentase desa yang mempunyai konflik	Positif	<b>1,34</b>	1,263825	0,997666	1,992424
Angka Harapan hidup (tahun)	Negatif	71,94	72,072	<b>68,57917</b>	70,93143
Rata-rata lama sekolah (tahun)	Negatif	8,21	8,131	<b>5,811667</b>	7,454286
Angka melek huruf (tahun)	Negatif	12,57	12,958	<b>12,07083</b>	12,56143
Jarak ibu kota Kabupaten ke Ibu Kota provinsi (km)	Positif	146,56	113,3	<b>147,0833</b>	71,71429
Jumlah desa dengan kemudahan akses ke pelayanan keamanan	Negatif	<b>44,22</b>	75,8	56,83333	90,57143
Jumlah desa dengan permukaan jalan terluas aspal	Negatif	<b>142,00</b>	216,2	194,5	278,4286
Jumlah desa dengan permukaan jalan terluas diperkeras	Positif	18,56	9,2	<b>24,75</b>	22
Jumlah desa dengan permukaan jalan terluas tanah	Positif	1,33	0,5	<b>1,666667</b>	0,857143
Jumlah desa dengan permukaan jalan terluas lainnya	Negatif	<b>0</b>	0,1	<b>0</b>	<b>0</b>
Jumlah desa mempunyai pasar tanpa bangunan permanen	Positif	11,78	27,8	<b>28,66667</b>	16
Jumlah prasarana kesehatan per 1000 penduduk	Negatif	<b>0,00</b>	0,009	0,00325	0,007143

Tabel 4.51 Statistik Deskriptif (Rata-rata) Indikator Skala Numerik Anggota Tiap Kluster (Lanjutan)

Indikator	Arah Keteringgalan	Klaster 1	Klaster 2	Klaster 3	Klaster 4
Jumlah dokter per 1000 penduduk	Negatif	0,08	0,1549	<b>0,073583</b>	0,120857
Jumlah SMA per 1000 penduduk	Negatif	0,02	0,0448	<b>0,038417</b>	0,041
Presentase rumah tangga pengguna listrik (persen)	Negatif	99,49	99,706	<b>97,775</b>	98,83571
Presentase rumah tangga pengguna telepon (persen)	Negatif	88,13	88,987	<b>83,135</b>	87,12
Presentase rumah tangga pengguna air bersih	Negatif	18,26	26,57229	<b>9,069813</b>	14,19978
Derajat Desentralisasi Fiskal	Negatif	12,14	18,03763	<b>10,26706</b>	27,92596
Presentase Desa Tertinggal	Positif	0,61	0,881	<b>5,2975</b>	1,061429

Keterangan : **-----** = Berpotensi tertinggal

Selanjutnya, untuk modus dari data bertipe kategorik untuk tiap-tiap kluster dapat dilihat pada tabel 4.52.

Tabel 4.52 Statistik Deskriptif (Modus) Indikator Skala Kategorik Anggota Tiap Kluster

Indikator	Klaster 1	Klaster 2	Klaster 3	Klaster 4
Daerah perbatasan	Tidak	Tidak	<b>Ya</b>	<b>Ya</b>
Kepemilikan pulau	Tidak	Tidak	Tidak	Tidak
Daerah pasca konflik	Tidak	Tidak	<b>Ya</b>	<b>Ya</b>
Daerah rawan pangan	<b>Ya</b>	<b>Ya</b>	<b>Ya</b>	<b>Ya</b>
Daerah rawan bencana tanah longsor	Tinggi	Tinggi	Tinggi	Tidak
Daerah rawan bencana banjir	Tinggi	Tinggi	Tinggi	Tinggi
Daerah rawan bencana gempa bumi	Tidak	<b>Ya</b>	<b>Ya</b>	Tidak
Daerah rawan bencana tsunami	Tidak	Tidak	Tidak	Tidak
Daerah rawan bencana letusan gunung	Tidak	Tidak	Tidak	Tidak

Keterangan : **-----** = Berpotensi tertinggal

Berdasarkan Tabel 4.50, diketahui bahwa rata-rata indikator presentase penduduk miskin memiliki arah keteringgalan positif. Oleh karena itu, semakin tinggi presentase penduduk miskin suatu daerah, maka akan semakin buruk juga kondisi Kabupaten/Kota dari anggota kluster. Sehingga Kabupaten/Kota yang

tergolong kedalam klaster tersebut memiliki potensi yang tinggi menjadi daerah tertinggal. Klaster 3 memiliki rata-rata presentase penduduk miskin sebesar 16,117% yang menunjukkan angka paling tinggi jika dibandingkan klaster lainnya. Sehingga, klaster 3 memiliki potensi sebagai daerah tertinggal yang tinggi. Selanjutnya untuk indikator pengeluaran penduduk perkapita memiliki arah ketertinggalan negatif. Oleh karena itu, semakin rendah pengeluaran penduduk perkapita suatu daerah, maka akan semakin buruk juga kondisi Kabupaten/Kota dari anggota klaster. Klaster 3 memiliki rata-rata pengeluaran penduduk perkapita sebesar 9212,364 ribu yang menunjukkan angka paling rendah jika dibandingkan klaster lainnya. Sehingga, klaster 3 memiliki potensi sebagai daerah tertinggal yang tinggi, dan seterusnya hingga indikator presentase desa tertinggal.

Berdasarkan Tabel 4.50, dapat diketahui bahwa klaster 1 memiliki potensi ketertinggalan sebanyak 6 indikator. Klaster 2 memiliki potensi ketertinggalan sebanyak 1 indikator. Klaster 3 memiliki potensi ketertinggalan sebanyak 19 indikator. Sedangkan klaster 4 memiliki potensi ketertinggalan sebanyak 3 indikator. Selanjutnya untuk potensi ketertinggalan ditinjau dari variabel yang bertipe kategorik berdasarkan Tabel 4.51, terlihat bahwa untuk klaster 1 memiliki potensi ketertinggalan sebanyak 1 indikator. Klaster 2 memiliki potensi ketertinggalan sebanyak 2 indikator. Klaster 3 memiliki potensi ketertinggalan sebanyak 4 indikator. Sedangkan klaster 4 memiliki potensi ketertinggalan sebanyak 3 indikator. Oleh karena itu, urutan klaster untuk Kabupaten/Kota tertinggal, berkembang, mandiri dan maju berturut-turut yaitu klaster 3, klaster 1





Kabupaten selanjutnya yang ditetapkan sebagai daerah tertinggal pada tahun 2015 yaitu Kabupaten Jember. Hal ini dapat dilihat dari data pengeluaran penduduk perkapita yang rendah, yaitu Rp. 8.226.660 hal inilah yang menjadikan Kabupaten Jember tergolong sebagai daerah tertinggal. Berdasarkan berita yang termuat dalam Prosalina.com menyebutkan bahwa terdapat 20 kecamatan di Kabupaten Jember yang masih tergolong tertinggal (Prosalina, 2013). Selain itu, Kabupaten Jember memiliki presentase penduduk miskin yang cukup tinggi yaitu 11,28%. Hal ini termuat dalam FaktualNews.com yang menyebutkan bahwa buruknya pengelolaan dana desa, mengakibatkan tingkat kemiskinan di Jember tinggi (Hatta, 2014).

Kabupaten selanjutnya yang ditetapkan sebagai daerah tertinggal pada tahun 2015 yaitu Kabupaten Banyuwangi. Pada dasarnya, Kabupaten Banyuwangi memiliki karakteristik daerah yang cukup baik. Berbeda dengan Kabupaten yang telah ditetapkan tertinggal lainnya. Indikator yang perlu diperbaiki adalah infrastruktur daerah khususnya pengguna listrik. Berdasarkan berita yang termuat dalam NasionalTempo.com, menyebutkan bahwa masih ada sekitar 100 desa terpencil di Banyuwangi yang belum di aliri listrik (Ningstyas, 2011). Selain listrik, terdapat beberapa desa di Banyuwangi yang belum memiliki sarana pendidikan yang memadai, terbukti dari berita yang termuat dalam Pojoksatu.id, menyebutkan bahwa untuk pergi kesekolah saja, mereka harus mempertaruhkan nyawa untuk pergi ke sekolah, pasalnya daerah yang sangat terpencil menjadikan tidak ada angkutan umum yang dapat dijangkau (Subekti, 2015).

Kabupaten selanjutnya yang ditetapkan sebagai daerah tertinggal pada tahun 2015 yaitu Kabupaten. Salah satu penyebab Probolinggo masuk kedalam daerah tertinggal adalah tingkat kemiskinan yang tinggi. Bahkan lebih tinggi daripada Kabupaten Jember dan Trenggalek, yaitu sebesar 20,44%. Hal ini termuat dalam [www.SurabayaPagi.com](http://www.SurabayaPagi.com) yang menyebutkan bahwa Kabupaten Probolinggo menduduki peringkat ketiga sebagai Kabupaten termiskin se-Jawa Timur (Surabayapagi.com, 2012). Sama halnya dengan Kabupaten Probolinggo yang mengalami masalah kemiskinan, Kota Probolinggo juga mengalaminya meskipun tidak separah di Kabupaten Probolinggo. Hal ini termuat dalam RadarBromo.co.id yang menyebutkan bahwa terdapat 2000 rumah warga miskin di Kota Probolinggo tidak *tercover* Bantuan Pangan Non Tunai (BPNT) (Arifin, 2014)

Bondowoso, Situbondo, Bangkalan dan Sampang merupakan Kabupaten yang tergolong sebagai daerah tertinggal. Hal ini sejalan dengan keputusan Presiden tentang penetapan daerah tertinggal yang menyebutkan bahwa keempat Kabupaten tersebut digolongkan sebagai daerah tertinggal (Republik Indonesia, 2014) (Yunita, 2015)(Humas, 2015)(Lumanauw, 2015). Jika dilihat dari indikator yang telah ditetapkan KPDT, memang keempat Kabupaten tersebut memiliki arah ketertinggalan yang besar. Seperti Kabupaten Sampang yang memiliki tingkat presentase penduduk miskin tertinggi di Jawa Timur 25,80%, selain itu rata-rata sekolah, angka melek huruf, jumlah rumah sakit terendah di Jawa Timur menjadikan Kabupaten ini tergolong sebagai daerah tertinggal. Sedangkan Kabupaten Bangkalan memiliki tingkat presentase desa tertinggal tertinggi di Jawa Timur. Selanjutnya Kabupaten Situbondo menduduki Kabupaten yang

sering terkena bencana dengan presentase sebesar 16,912%. Selanjutnya Kabupaten Bondowoso memiliki tingkat angka harapan hidup dan pengguna telepon terendah di Jawa Timur. Beberapa hal itulah yang menjadikan Bondowoso termasuk kedalam daerah tertinggal.

Salain Bangkalan dan Sampang, Kabupaten Madura lainnya yang tergolong tertinggal adalah Sumenep dan Pamekasan. Hal yang menjadi pokok perhatian Kabupaten Sumenep adalah perekonomian yang buruk dan infrastruktur yang tidak layak (Syaiful Anwar & Arif, 2017). Berdasarkan berita yang termuat dalam infopublik.id menyebutkan bahwa Kabupaten Sumenep masih berada dibawah garis kemiskinan selama 5 tahun terakhir, yaitu dari tahun 2013-2015 (Yanto, 2018). Selain presentase penduduk miskin yang tinggi, permasalahan ekonomi Kabupaten Sumenep lainnya yaitu tingkat pengeluaran perkapita Kabupaten Sumenep terendah di Jawa Timur yaitu sebesar Rp.7.143.080. Selain itu, permasalahan infrastruktur Kabupaten Sumenep yaitu pasokan listrik yang kurang memadai. Terlihat dari presentase penduduk pengguna listrik terendah di Jawa Timur adalah Kabupaten Sumenep. Untuk Kabupaten Pamekasan memiliki tingkat desentralisasi fiskal terendah ketiga setelah Sampang dan Bangkalan yaitu sebesar 7,082%. Hal ini juga termuat dalam mediamadura.com yang menyebutkan bahwa serapan APBD Pamekasan tergolong rendah (Rifqi, 2016). Selain itu, Kabupaten Pamekasan menduduki presentase penduduk miskin nomor 4 se-Jawa Timur setelah Sampang, Bangkalan dan Sumenep.











*Wallis* untuk data kategorik. Hasil uji *Wilks Lambda* berdasarkan Tabel yang pada lampiran 8, menunjukkan bahwa nilai signifikansi sebesar  $0,037 < 0,05$ . Sehingga  $H_0$  ditolak yang menunjukkan bahwa hasil kluster penetapan daerah tertinggal di Jawa Timur berdasarkan indikator KPDT bertipe numerik secara *multivariate* memiliki perbedaan yang signifikan. Sedangkan untuk uji signifikansi pada data kategorik menggunakan uji *Kruskal Wallis* dapat dilihat pada Tabel 4.63.

Tabel 4.63 Hasil Uji Kruskal Wallis

Keterangan	Variabel							
	$x_{28}$	$x_{29}$	$x_{30}$	$x_{31}$	$x_{32}$	$x_{33}$	$x_{34}$	$x_{35}$
Chi-Square	7,206	7,944	3,194	3,244	2,753	4,838	2,078	0,866
Df	3	3	3	3	3	3	3	3
Asymp. Sig.	<b>0,044</b>	<b>0,016</b>	<b>0,078</b>	0,751	<b>0,045</b>	<b>0,048</b>	0,623	<b>0,275</b>

Berdasarkan Tabel 4.63, apabila dilihat dari variabel  $x_{28}, x_{29}, x_{30}, x_{32}, x_{33}$ , dan  $x_{36}$ , menunjukkan bahwa terdapat perbedaan antar kluster yang terbentuk, karena 6 variabel tersebut memiliki nilai signifikansi kurang dari (0,05). Namun, ketika dilihat berdasarkan variabel  $x_{31}, x_{34}$ , dan  $x_{35}$ , menunjukkan bahwa tidak ada perbedaan antar kluster yang terbentuk, karena 3 variabel tersebut memiliki nilai signifikansi lebih dari (0,05).

Selanjutnya, dari hasil kluster yang terbentuk, akan dilakukan analisis terkait karakteristik masing-masing anggota kluster yang terbentuk. Berikut akan disajikan statistik deskriptif (rata-rata) indikator dengan skala numerik tiap-tiap kluster dan arah ketertinggalannya pada Tabel 4.64.

Tabel 4.64 Statistik Deskriptif (Rata-rata) Indikator Skala Numerik Anggota Tiap Kluster

Indikator	Arah Ketertinggalan	Kluster 1	Kluster 2	Kluster 3	Kluster 4
Presentase Penduduk Miskin (persen)	Positif	10,061071	11,31773 7	<b>16,10839</b>	9,3064009
Pengeluaran penduduk perkapita (ribu rupiah)	Negatif	11230,333	10963,5	<b>9382,889</b>	11651,7

Tabel 4.64 Statistik Deskriptif (Rata-rata) Indikator Skala Numerik Anggota Tiap Kluster (Lanjutan)

Indikator	Arah Keteringgalan	Klaster 1	Klaster 2	Klaster 3	Klaster 4
Presentase jumlah desa terkena bencana gempa	Positif	<b>7,696983</b>	2,092495 2	1,081227 3	4,7986011
Presentase jumlah desa terkena bencana tanah longsor	Positif	<b>14,92308</b>	4,737521 2	12,26851 4	14,260464
Presentase jumlah desa terkena bencana banjir	Positif	14,894436	<b>18,80293</b>	14,80077 5	17,425333
Presentase desa dengan terkena bencana lainnya	Positif	4,3425851	2,713742	<b>5,573127</b>	1,2831262
Presentase kawasan hutan lindung	Negatif	17,519057	<b>13,85731</b>	23,40007 5	15,255145
Presentase desa yang melakukan pelestarian lahan kritis	Negatif	37,89342	38,07652 1	<b>35,84653</b> 9	42,870441
Presentase desa yang mempunyai konflik	Positif	1,921463	1,444652 6	1,012992	<b>1,9605049</b>
Angka Harapan hidup (tahun)	Negatif	71,807778	71,678	<b>68,92</b>	72,001
Rata-rata lama sekolah (tahun)	Negatif	8,1577778	7,909	<b>6,112222</b>	8,069
Angka melek huruf (tahun)	Negatif	13,135556	13,104	<b>12,61778</b>	13,438
Jarak ibu kota Kabupaten ke Ibu Kota provinsi (km)	Positif	<b>155,8889</b>	113,6	138,8888 9	93
Jumlah desa dengan kemudahan akses ke pelayanan keamanan	Negatif	<b>52,666667</b>	63,3	53,44444 4	67,2
Jumlah desa dengan permukaan jalan terluas aspal	Negatif	200,33333	<b>187,9</b>	199,2222 2	238,3
Jumlah desa dengan permukaan jalan terluas diperkeras	Positif	6,6666667	<b>29,1</b>	9,888888 9	15,2
Jumlah desa dengan permukaan jalan terluas tanah	Positif	0,4444444	0,8	<b>1</b>	0,5
Jumlah desa dengan permukaan jalan terluas lainnya	Negatif	<b>0</b>	0,1	0,222222 2	0,1
Jumlah desa mempunyai pasar tanpa bangunan permanen	Positif	22,666667	28,5	25,77777 8	<b>38,5</b>
Jumlah prasarana kesehatan per 1000 penduduk	Negatif	0,0086667	0,0087	<b>0,004</b>	0,0172

Tabel 4.64 Statistik Deskriptif (Rata-rata) Indikator Skala Numerik Anggota Tiap Kluster (Lanjutan)

Indikator	Arah Ketertinggalan	Klaster 1	Klaster 2	Klaster 3	Klaster 4
Jumlah dokter per 1000 penduduk	Negatif	0,1101111	0,1124	<b>0,064</b>	0,1684
Jumlah SMA per 1000 penduduk	Negatif	<b>0,027556</b>	0,0328	0,048	0,0525
Presentase rumah tangga pengguna listrik (persen)	Negatif	99,718889	99,759	<b>99,27333</b>	99,827
Presentase rumah tangga pengguna telepon (persen)	Negatif	88,256667	88,82	<b>85,37778</b>	90,004
Presentase rumah tangga pengguna air bersih	Negatif	17,960883	<b>5,628601</b>	6,107358 4	21,428628
Derajat Desentralisasi Fiskal	Negatif	18,724793	19,65765 9	<b>13,36464</b>	25,314406
Presentase Desa Tertinggal	Positif	0,6277778	1,911	<b>5,223333</b>	1,353

Keterangan : ----- = Berpotensi tertinggal

Selanjutnya, untuk modus dari data bertipe kategorik untuk tiap-tiap kluster dapat dilihat pada tabel 4.65.

Tabel 4.65 Statistik Deskriptif (Modus) Indikator Skala Kategorik Anggota Tiap Kluster

Indikator	Klaster 1	Klaster 2	Klaster 3	Klaster 4
Daerah perbatasan	Tidak	Ya	Ya	Ya
Kepemilikan pulau	Tidak	Tidak	Tidak	Tidak
Daerah pasca konflik	Tidak	Tidak	Ya	Tidak
Daerah rawan pangan	Ya	Ya	Ya	Ya
Daerah rawan bencana tanah longsor	Tidak	Tidak	Tinggi	Tidak
Daerah rawan bencana banjir	Tinggi	Tinggi	Tinggi	Tinggi
Daerah rawan bencana gempa bumi	Ya	Tidak	Ya	Tidak
Daerah rawan bencana tsunami	Tidak	Tidak	Tidak	Tidak
Daerah rawan bencana letusan gunung	Tidak	Tidak	Tidak	Tidak

Berdasarkan Tabel 4.64, diketahui bahwa rata-rata indikator presentase penduduk miskin memiliki arah ketertinggalan positif. Oleh karena itu, semakin tinggi presentase penduduk miskin suatu daerah, maka akan semakin buruk juga kondisi Kabupaten/Kota dari anggota kluster. Sehingga Kabupaten/Kota yang

tergolong kedalam klaster tersebut memiliki potensi yang tinggi menjadi daerah tertinggal. Klaster 3 memiliki rata-rata presentase penduduk miskin sebesar 16,10839% yang menunjukkan angka paling tinggi jika dibandingkan klaster lainnya. Sehingga, klaster 3 memiliki potensi sebagai daerah tertinggal yang tinggi. Selanjutnya untuk indikator pengeluaran penduduk perkapita memiliki arah ketertinggalan negatif. Oleh karena itu, semakin rendah pengeluaran penduduk perkapita suatu daerah, maka akan semakin buruk juga kondisi Kabupaten/Kota dari anggota klaster. Klaster 3 memiliki rata-rata pengeluaran penduduk perkapita sebesar 9382,889 ribu yang menunjukkan angka paling rendah jika dibandingkan klaster lainnya. Sehingga, klaster 3 memiliki potensi sebagai daerah tertinggal yang tinggi, dan seterusnya hingga indikator presentase desa tertinggal.

Berdasarkan Tabel 4.64, dapat diketahui bahwa klaster 1 memiliki potensi ketertinggalan sebanyak 6 indikator. Klaster 2 memiliki potensi ketertinggalan sebanyak 5 indikator. Klaster 3 memiliki potensi ketertinggalan sebanyak 14 indikator. Sedangkan klaster 4 memiliki potensi ketertinggalan sebanyak 2 indikator. Selanjutnya untuk potensi ketertinggalan ditinjau dari variabel yang bertipe kategorik berdasarkan Tabel 4.51, terlihat bahwa untuk klaster 1 memiliki potensi ketertinggalan sebanyak 2 indikator. Klaster 2 memiliki potensi ketertinggalan sebanyak 2 indikator. Klaster 3 memiliki potensi ketertinggalan sebanyak 4 indikator. Sedangkan klaster 4 memiliki potensi ketertinggalan sebanyak 2 indikator. Oleh karena itu, urutan klaster untuk Kabupaten/Kota tertinggal, berkembang, mandiri dan maju berturut-turut yaitu klaster 3, klaster 1,





## **I. Evaluasi Prediksi Penetapan Daerah Tertinggal Tahun 2020**

Berdasarkan Tabel 4.63, daerah yang diprediksi masuk kedalam daerah tertinggal pada penetapan tahun 2020 mendatang yaitu Trenggalek, Bondowoso, Situbondo, Probolinggo, Tuban, Bangkalan, Pamekasan, Sumenep, dan Sampang.

Kabupaten Banyuwangi diprediksi terlepas dari penetapan sebagai daerah tertinggal pada Tahun 2020 mendatang hal ini dipengaruhi oleh presentase penduduk miskin yang mengalami penurunan cukup signifikan dari tahun 2014 ke tahun 2017 yaitu sebesar 0,65%. Tidak hanya itu pengeluaran penduduk per kapita juga mengalami kenaikan yang cukup besar 10,20 %. Didukung lagi dengan kenaikan setiap indikator pada kriteria sumber daya manusia, yaitu 0,37% untuk angka harapan hidup, 3,49% untuk rata-rata lama sekolah dan 7,37% untuk angka melek huruf. Selain itu, Kabupaten Banyuwangi telah melakukan perbaikan infrastruktur dengan cukup baik. Dibuktikan dengan meningkatnya kualitas infrastruktur setiap indikator dari tahun 2014 ke tahun 2018. Dilihat dari kemampuan keuangan daerah yang diwakili dengan tingkat desentralisasi fiskal, menunjukkan bahwa Kabupaten Banyuwangi mengalami kenaikan keuangan daerah yang cukup tinggi, yaitu sebesar 2,67% dari kenaikan sebelumnya.

Selain Kabupaten Banyuwangi, Kabupaten yang keluar dari penetapan daerah tertinggal adalah Kabupaten Jember, hal ini disebabkan karena presentase penduduk miskin mengalami penurunan sebesar 0,28 %. Disamping itu, rata-rata pengeluaran penduduk perkapita mengalami kenaikan yang cukup tinggi dari tahun 2014 yaitu sebesar 5,73%. Kenaikan yang signifikan juga terdapat pada kriteria sumber daya manusia, yaitu 1,09% untuk indikator angka harapan hidup,



Karakteristik yang dimiliki masing-masing Kabupaten/Kota tersebut diantaranya yaitu, Kabupaten Trenggalek memiliki jumlah sarana prasarana kesehatan yang paling rendah diantara 37 Kabupaten/Kota lainnya. Kemudian Kabupaten Bondowoso memiliki angka harapan hidup dan pengguna telepon yang paling rendah dari 38 Kabupaten/Kota yang ada di Jawa Timur. Tidak hanya itu, Kabupaten Bondowoso memiliki jalan terluas tanah yang cukup besar. Kabupaten Sampang menjadi Kabupaten di Jawa Timur yang memiliki tingkat presentase penduduk miskin tertinggi. Selain itu, rata-rata lama sekolah yang sangat rendah menjadikan Kabupaten Sampang masuk kedalam daerah tertinggal. Kabupaten Pamekasan memiliki derajat desentralisasi fiskal yang paling rendah dari 38 Kabupaten/Kota di Jawa Timur. Kabupaten Sumenep merupakan Kabupaten yang memiliki Jumlah pengguna listrik dan air bersih terendah se-Jawa Timur dan Kota Probolinggo memiliki kawasan hutan lindung yang sangat kecil serta akses keamanan yang sulit menjadikan Kota Probolinggo masuk kedalam daerah tertinggal.

Seperti yang telah dijelaskan sebelumnya terkait karakteristik masing-masing daerah yang diprediksi tergolong sebagai daerah tertinggal untuk penetapan daerah tertinggal tahun 2020 mendatang, diharapkan bagi pihak Pemerintah untuk mengambil kebijakan terhadap daerahnya masing-masing yang disesuaikan dengan karakteristik daerahnya masing-masing.











- BPS. (n.d.-d). Sirusa - Sistem Rujukan Statistik - Presentase Penduduk Miskin. Retrieved April 15, 2019, from Badan Pusat Statistika website: <https://sirusa.bps.go.id/index.php?r=indikator/view&id=18>
- BPS. (n.d.-e). Sirusa - Sistem Rujukan Statistik - Rata-rata Lama Sekolah. Retrieved April 15, 2019, from <https://sirusa.bps.go.id/index.php?r=indikator/view&id=11>
- BPS Kabupaten Banyuwangi. (2018). *Kabupaten Banyuwangi Dalam Angka 2018*. Banyuwangi: Badan Pusat Statistika Kabupaten Banyuwangi.
- BPS Kabupaten Lamongan. (2018). *Kabupaten Lamongan Dalam Angka 2018*. Lamongan: Badan Pusat Statistika Kabupaten Lamongan.
- BPS Kabupaten Malang. (2018). *Kabupaten Malang Dalam Angka 2018*. Malang: Badan Pusat Statistika Kabupaten Malang.
- BPS Kabupaten Mojokerto. (2018). *Kota Mojokerto Dalam Angka 2018*. Mojokerto: Badan Pusat Statistika Kota Mojokerto.
- Bunkers, & James. (1996). Definition of Climate Regions in the Northern Plains Using an Objective Cluster Modification Technique. *J.Climate*, 130–146.
- David, W., & Djamaris, A. R. (2018). *Metode Statistik Untuk Ilmu dan Teknologi Pangan*. Retrieved from <http://repository.bakrie.ac.id/id/eprint/1255%0A>
- Djuraidah, A. (2009). Evaluasi Status Ketertinggalan Daerah Dengan Analisis Diskriminan. *Seminar Nasional Matematika Dan Pendidikan Matematika Jurusan Pendidikan Matematika FMIPA UNY*, 1–16. Retrieved from [http://eprints.uny.ac.id/7073/1/S.21 Anik Djuraidah.pdf](http://eprints.uny.ac.id/7073/1/S.21%20Anik%20Djuraidah.pdf)
- Dutta, M., Mahanta, A. K., & Pujari, A. K. (2005). QROCK: A quick version of the ROCK algorithm for clustering of categorical data. *Pattern Recognition Letters*, 26(15), 2364–2373. <https://doi.org/10.1016/j.patrec.2005.04.008>
- Farchan, Fauzi, SE., M. (2016). Teknikal Manajemen Sumber Daya Manusia Strategik Sebuah Paradigma Pengukuran Kinerja. *Jurnal Pendidikan Dan Studi Islam*, 1(1), 42–62.
- Guha, S., Rastogi, R., & Shim, K. (2000). Rock: a robust clustering algorithm for categorical attributes. *Information Systems*, 25(5), 345–366. [https://doi.org/10.1016/S0306-4379\(00\)00022-3](https://doi.org/10.1016/S0306-4379(00)00022-3)
- Hair, J. F., Black, J. W. C., Babin, B. J., & Anderson, R. E. (2013). Multivariate Data Analysis Sevent Edition. In *Exploratory Data Analysis in Business and Economics*. [https://doi.org/10.1007/978-3-319-01517-0\\_3](https://doi.org/10.1007/978-3-319-01517-0_3)
- Haryono. (2017). *Metode SEM untuk Penelitian Manajemen dengan AMOS 22.00, LISREL 8.80 dan SMART-PLS 3.0*. Jakarta: PT. Luxima Metro Media.
- Hatta, M. (2014). Angka Kemiskinan di Jember Tinggi, Akibat Buruknya Pengelolaan DD. Retrieved May 31, 2019, from <https://faktualnews.co/2014/09/07/angka-kemiskinan-di-jember-akibat-buruknya-pengelolaan-dd/98159/>

- He, Z., Xu, X. i, & Deng, S. (2005). Clustering Mixed Numeric and Categorical Data : A Cluster Ensmable Approach. *Departement of Computer Science and Engineering Harbin Institute of Technology*.
- Huang, Z. (1998). Extensions to the k-Means Algorithm for Clustering Large Data Sets with Categorical Values Extensions to the k-Means Algorithm for Clustering Large Data Sets with Categorical Values. *Data Mining and Knowledge Discovery*, 2(3), 283–304. <https://doi.org/10.1023/A:1009769707641>
- Humas. (2015). 122 Daerah Ini Ditetapkan Pemerintah Sebagai Daerah Tertinggal 2015 – 2019. Retrieved May 31, 2019, from [setkab.go.id](http://setkab.go.id) website: <https://setkab.go.id/122-daerah.ini-ditetapkan-pemerintah-sebagai-daerah-tertinggal-2015-2019/>
- Johnson, R. A., & Wichern, D. W. (2007). *Applied Multivariate Statistical Analysis Sixth Edition (Six)*. New Jearsey: Person Prentice Hall.
- KataData.co.id. (2018). Di Mana Kantong Kemiskinan Jawa Timur? Retrieved May 31, 2019, from <https://databoks.katadata.co.id/datapublish/2018/01/24/di-mana-kantong-kemiskinan-jawa-timur>
- Kota, A. R., Setiawan, A., & Linawati, L. (2012). Uji Independensi Statistik Bartlett Terhadap Nilai Saham Untuk Mengetahui Uji Independensi Statistik Bartlett Terhadap Nilai Saham Untuk Mengetahui Kebergantungan Saham-Saham Pada Beberapa Sektor Saham di BEJ. *Seminar Nasional Matematika Dan Pendidikan Matematika Jurusan Pendidikan Matematika FMIPA UNY*, (April).
- Lumanauw, N. (2015). Ini 122 Kabupaten yang Ditetapkan sebagai Daerah Tertinggal. Retrieved May 31, 2019, from <https://www.beritasatu.com/nasional/328882/ini-122-kabupaten-yang-ditetapkan-sebagai-daerah-tertinggal>
- Ningstyas, I. (2011). Seratus Desa Terpencil Banyuwangi Tanpa Listrik. Retrieved May 31, 2019, from <https://nasional.tempo.co/read/136476/seratus-desa-terpencil-banyuwangi-tanpa-listrik/full&view=ok>
- Orpin, A. R., & Kostylev, V. E. (2006). Towards a statistically valid method of textural sea floor characterization of benthic habitats. *Marine Geology*, 225(1–4), 209–222. <https://doi.org/10.1016/j.margeo.2005.09.002>
- Prosalina. (2013). 20 Kecamatan Di Jember, Masuk Kategori Daerah Relatif Tertinggal. Retrieved May 31, 2019, from Prosalina.com website: <http://www.prosalinaradio.com/2013/03/23/20-kecamatan-di-jember-masuk-kategori-daerah-relatif-tertinggal/>
- Reddy, M. . J., & B.Kavitha. (2012). Clustering the Mixed Numerical and Categorical Datasets Using Similarity Weight and Filter Method. *International Journal of Database Theory and Application*, 5(1), 121–133.

- Republik Indonesia. (2014). *Peraturan Pemerintah Republik Indonesia Nomor 78 Tahun 2014 Tentang Percepatan Pembangunan Daerah Tertinggal*.
- Republik Indonesia. (2015). *Peraturan Presiden Republik Indonesia Nomor 131 Tahun 2015 Tentang Penetapan Daerah Tertinggal Tahun 2015-2019*.
- Republik Indonesia. (2016). *Peraturan Menteri Desa, Pembangunan Daerah Tertinggal, Dan Transmigrasi Nomor 3 Tahun 2016 Tentang Petunjuk Teknis Penentuan Indikator Dalam Penetapan Daerah Tertinggal Secara Nasional*.
- Rifqi. (2016). Serapan APBD 2016 di Pamekasan Rendah. Retrieved May 31, 2019, from <https://mediamadura.com/2017/01/09/serapan-apbd-2016-di-pamekasan-rendah/>
- Rossa. (2016). Jumlah Penduduk Miskin di Trenggalek Meningkat. Retrieved May 31, 2019, from <https://www.bangsaonline.com/berita/19698/jumlah-penduduk-miskin-di-trenggalek-meningkat>
- Samian. (2019). Kemiskinan Tuban Masih Bertengger Lima Besar di Jatim. Retrieved May 30, 2019, from Suara Banyuurip.com website: <http://m.suarabanyuurip.com>
- Setiadi, D. H. (2018). *Pemetaan Kabupaten/Kota di Jawa Timur Berdasarkan Indikator Daerah Tertinggal Dengan Metode Data Campuran Ensemble ROCK dan SWFM*. Institut Teknologi Sepuluh Nopember.
- Setiawan, B., & Muntaha, A. (2014). *Metode Penelitian Komunikasi*.
- Sharma, S. (1996). *Applied multivariate techniques*. New York: John Wiley & Sons Inc.
- Sharma, S., & Yadav, R. L. (2013). Comparative Study of K-means and Robust Clustering. *International Journal of Advanced Computer Research ISSN: 2249-7277*, (3), 1-4.
- Simarmata, I., Arma, A. J. A., & Arnita. (2013). *Aplikasi Analisis Faktor dengan Metode Principal Component Analysis dan Maximum Likelihood dalam Faktor-faktor yang Memengaruhi Pemberian Makanan Tambahan Pada Bayi Usia 0-6 Bulan di Desa Pematang Panjang Kecamatan Air Putih Kabupaten Batubara Tahun 2013*. 5(21076041), 8-13.
- Subekti, R. (2015). Anak-anak Banyuwangi Pertaruhkan Nyawa Demi Sekolah. Retrieved May 31, 2019, from <https://pojoksatu.id/pojok-bibir/2015/04/01/anak-anak-banyuwangi-pertaruhkan-nyawa-demi-sekolah/>
- Sudipo Guha, Rajeev Rastogi, K. S. (1999). *A robust clustering algorithm for categorical.pdf.pdf*.
- Surabayapagi.com. (2012). Probolinggo Termiskin Nomor 3 Di Jatim. Retrieved May 31, 2019, from [www.surabayapagi.com website: http://www.surabayapagi.com/read/92663/2012/12/28/Probolinggo\\_Termiskin\\_Nomor\\_3\\_Di\\_Jatim.html](http://www.surabayapagi.com/read/92663/2012/12/28/Probolinggo_Termiskin_Nomor_3_Di_Jatim.html)

- Susanti, E. L. (2016). Modul Metode Penelitian. In *Penelitian*. <https://doi.org/10.1021/ol7029646>
- Syaiful Anwar, & Arif, M. (2017). Janji Politik Gus Ipul : Perbaiki Permasalahan Kemiskinan dan Infrastruktur Di Madura. Retrieved May 31, 2019, from <http://pojokpitu.com/baca.php?idurut=57124&&top=1&ktg=J>
- Wiratama, S., Diartho, H. C., & Prianto, F. W. (2018). Analisis Pembangunan Wilayah Tertinggal di Provinsi Jawa Timur. *E-Journal Ekonomi Bisnis Dan Akuntansi*, 5(1), 16. <https://doi.org/10.19184/ejeba.v5i1.7726>
- Wulan, A. R. (2016). Pengertian Dan Esensi Konsep. Retrieved April 15, 2019, from [http://file.upi.edu/Direktori/FPMIPA/JUR.\\_PEND.\\_BIOLOGI/ANA\\_RATN\\_AWULAN/pengertian\\_asesmen.pdf](http://file.upi.edu/Direktori/FPMIPA/JUR._PEND._BIOLOGI/ANA_RATN_AWULAN/pengertian_asesmen.pdf)
- Yanto, N. (2018). Berikut Jumlah Penduduk Miskin Di Sumenep Selama 5 Tahun Terakhir. Retrieved May 31, 2019, from InfoPublik.id website: <http://infopublik.id/kategori/nusantara/315716/berikut-jumlah-penduduk-miskin-di-sumenep-selama-5-tahun-terakhir?video=>
- Yunita, N. W. (2015). Jokowi Tetapkan 122 Kabupaten ini Daerah Tertinggal 2015-2019. Retrieved May 31, 2019, from Detiknews website: <https://news.detik.com/berita/d-3092196/jokowi-tetapkan-122-kabupaten-ini-daerah-tertinggal-2015-2019>